

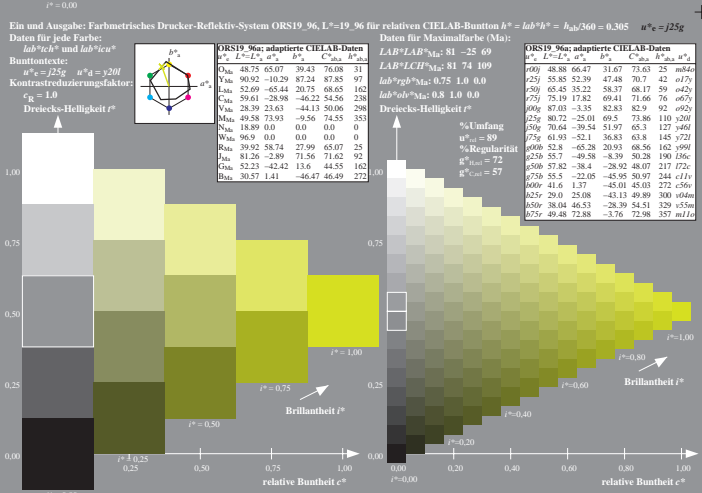
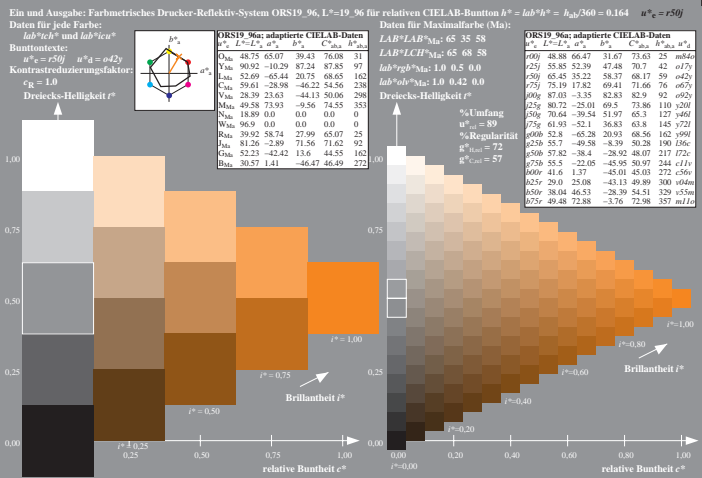
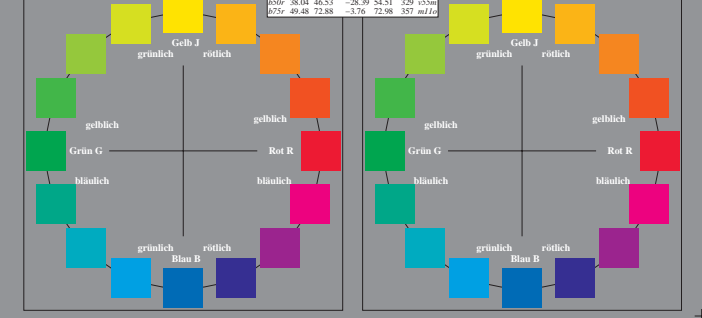
Ein und Ausgabe: Farbmetrisches Drucker-Reflexiv-System ORS19_96a
 Daten für jede Farbe: lab^*lch^* und lab^*icu^*
 u^* und Nummer $N_r = 00 \dots 15$
 Elementar-Bunttonexte:
 $u^*_r = 16$ Bunttonexte $00j, r25j, \dots, b75r$
 Kontrastreduzierungs-faktor:
 $c_R = 1.0$

ORS19_96a; adaptierte CIELAB-Daten

L^*	a^*	b^*	C_{90}	h_{90}	M_{90}	h_{90}^*	M_{90}^*
48.75	65.07	39.43	76.08	31	73.63	25	68.66
55.85	52.39	47.48	70.7	42	67.7		
65.45	32.22	58.37	68.17	59	64.25		
75.19	17.82	69.41	71.66	76	66.7		
87.03	-3.35	82.83	82.9	92	69.2		
90.72	-25.01	69.5	73.86	110	70		
70.64	-39.54	51.97	65.3	127	66		
61.93	-52.1	36.83	63.8	145	72		
49.82	-65.28	20.93	68.56	162	99		
55.7	-49.58	-8.39	50.28	190	186		
57.82	-38.4	-28.02	48.07	217	228		
52.23	-42.42	13.6	44.55	162			
41.6	1.37	-45.01	45.03	272	556		
29.0	25.08	-43.13	49.89	300	646		
38.04	46.53	-28.39	54.51	329	556		
49.48	72.88	-3.76	72.98	357	611		

ORS19_96a; adaptierte CIELAB-Daten

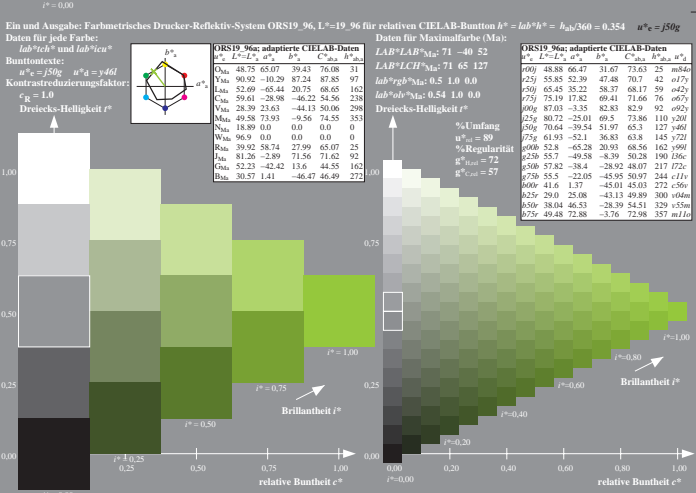
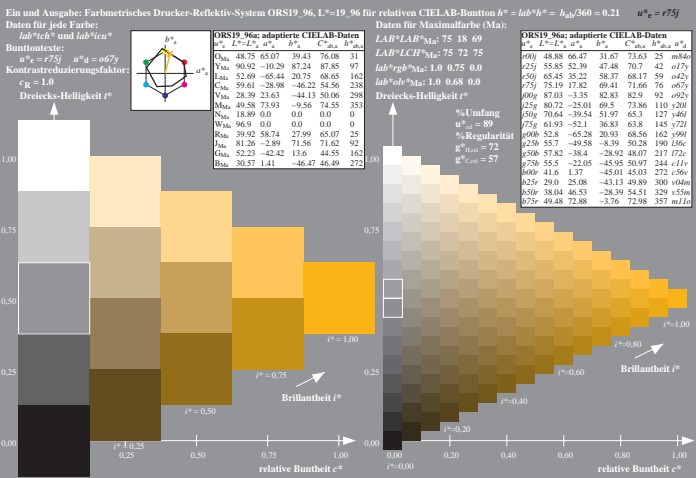
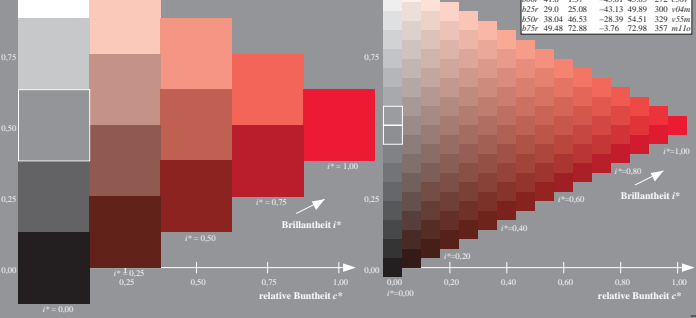
L^*	a^*	b^*	C_{90}	h_{90}	M_{90}	h_{90}^*	M_{90}^*
48.75	65.07	39.43	73.63	25	68.66		
55.85	52.39	47.48	70.7	42	67.7		
65.45	32.22	58.37	68.17	59	64.25		
75.19	17.82	69.41	71.66	76	66.7		
87.03	-3.35	82.83	82.9	92	69.2		
90.72	-25.01	69.5	73.86	110	70		
70.64	-39.54	51.97	65.3	127	66		
61.93	-52.1	36.83	63.8	145	72		
49.82	-65.28	20.93	68.56	162	99		
55.7	-49.58	-8.39	50.28	190	186		
57.82	-38.4	-28.02	48.07	217	228		
52.23	-42.42	13.6	44.55	162			
41.6	1.37	-45.01	45.03	272	556		
29.0	25.08	-43.13	49.89	300	646		
38.04	46.53	-28.39	54.51	329	556		
49.48	72.88	-3.76	72.98	357	611		



Ein und Ausgabe: Farbmetrisches Drucker-Reflexiv-System ORS19_96, L*=19_96 für relativen CIELAB-Buntton $h^* = lab^*h^* = h_{90}/360 = 0.071$ $u^*_r = r00j$
 Daten für jede Farbe: lab^*lch^* und lab^*icu^*
 Bunttonexte:
 $u^*_r = r00j$ $u^*_i = m84r$
 Kontrastreduzierungs-faktor:
 $c_R = 1.0$
 Dreiecks-Helligkeit I^*

ORS19_96a; adaptierte CIELAB-Daten

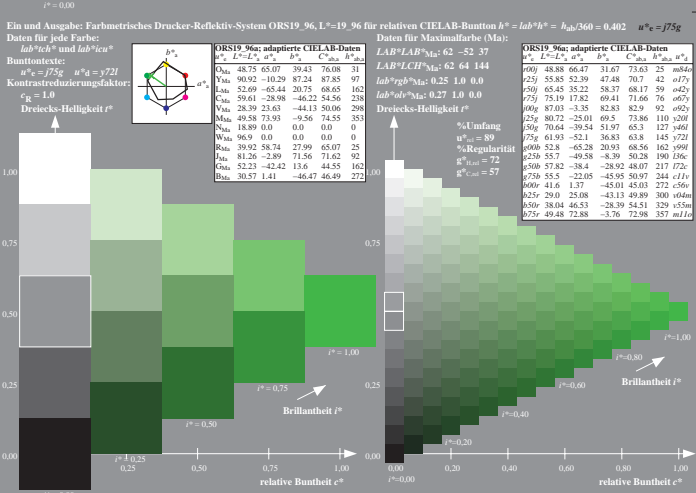
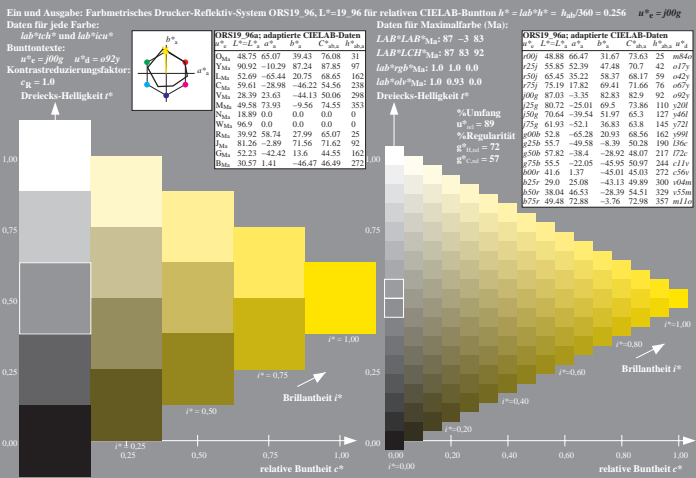
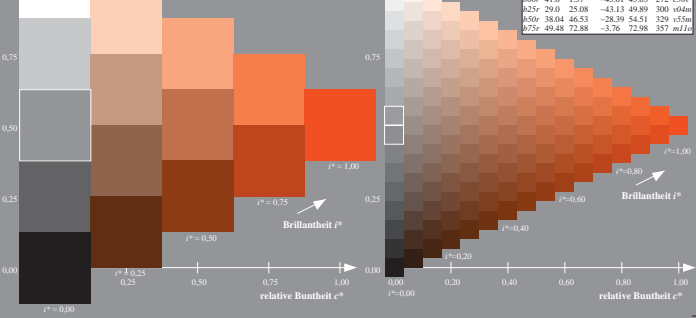
L^*	a^*	b^*	C_{90}	h_{90}	M_{90}	h_{90}^*	M_{90}^*
48.75	65.07	39.43	76.08	31	73.63	25	68.66
55.85	52.39	47.48	70.7	42	67.7		
65.45	32.22	58.37	68.17	59	64.25		
75.19	17.82	69.41	71.66	76	66.7		
87.03	-3.35	82.83	82.9	92	69.2		
90.72	-25.01	69.5	73.86	110	70		
70.64	-39.54	51.97	65.3	127	66		
61.93	-52.1	36.83	63.8	145	72		
49.82	-65.28	20.93	68.56	162	99		
55.7	-49.58	-8.39	50.28	190	186		
57.82	-38.4	-28.02	48.07	217	228		
52.23	-42.42	13.6	44.55	162			
41.6	1.37	-45.01	45.03	272	556		
29.0	25.08	-43.13	49.89	300	646		
38.04	46.53	-28.39	54.51	329	556		
49.48	72.88	-3.76	72.98	357	611		

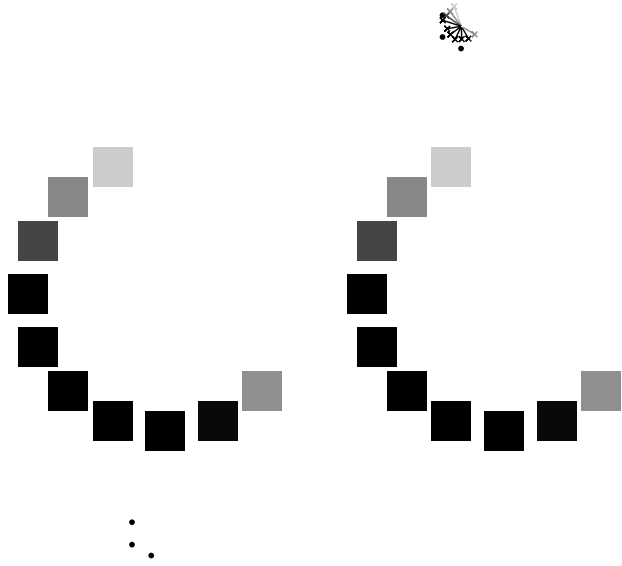


Ein und Ausgabe: Farbmetrisches Drucker-Reflexiv-System ORS19_96, L*=19_96 für relativen CIELAB-Buntton $h^* = lab^*h^* = h_{90}/360 = 0.117$ $u^*_r = r25j$
 Daten für jede Farbe: lab^*lch^* und lab^*icu^*
 Bunttonexte:
 $u^*_r = r25j$ $u^*_i = a72j$
 Kontrastreduzierungs-faktor:
 $c_R = 1.0$
 Dreiecks-Helligkeit I^*

ORS19_96a; adaptierte CIELAB-Daten

L^*	a^*	b^*	C_{90}	h_{90}	M_{90}	h_{90}^*	M_{90}^*
48.75	65.07	39.43	76.08	31	73.63	25	68.66
55.85	52.39	47.48	70.7	42	67.7		
65.45	32.22	58.37	68.17	59	64.25		
75.19	17.82	69.41	71.66	76	66.7		
87.03	-3.35	82.83	82.9	92	69.2		
90.72	-25.01	69.5	73.86	110	70		
70.64	-39.54	51.97	65.3	127	66		
61.93	-52.1	36.83	63.8	145	72		
49.82	-65.28	20.93	68.56	162	99		
55.7	-49.58	-8.39	50.28	190	186		
57.82	-38.4	-28.02	48.07	217	228		
52.23	-42.42	13.6	44.55	162			
41.6	1.37	-45.01	45.03	272	556		
29.0	25.08	-43.13	49.89	300	646		
38.04	46.53	-28.39	54.51	329	556		
49.48	72.88	-3.76	72.98	357	611		





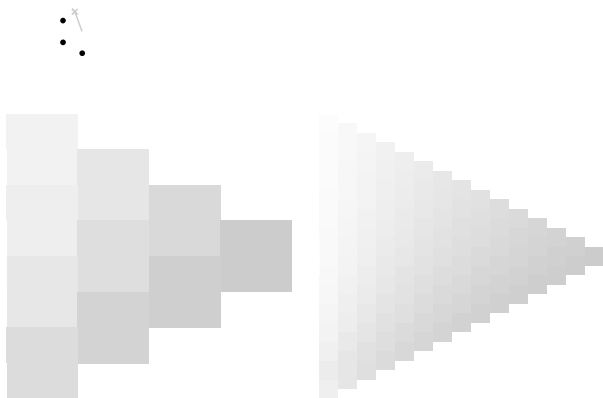
⋮

⋮

⋮

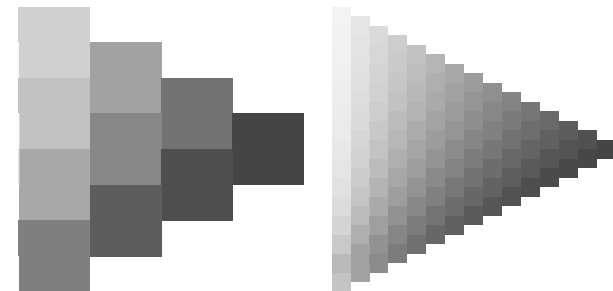
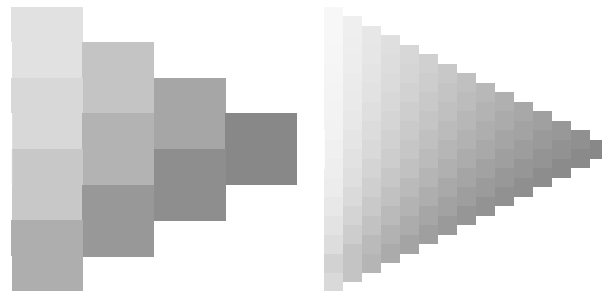
⋮

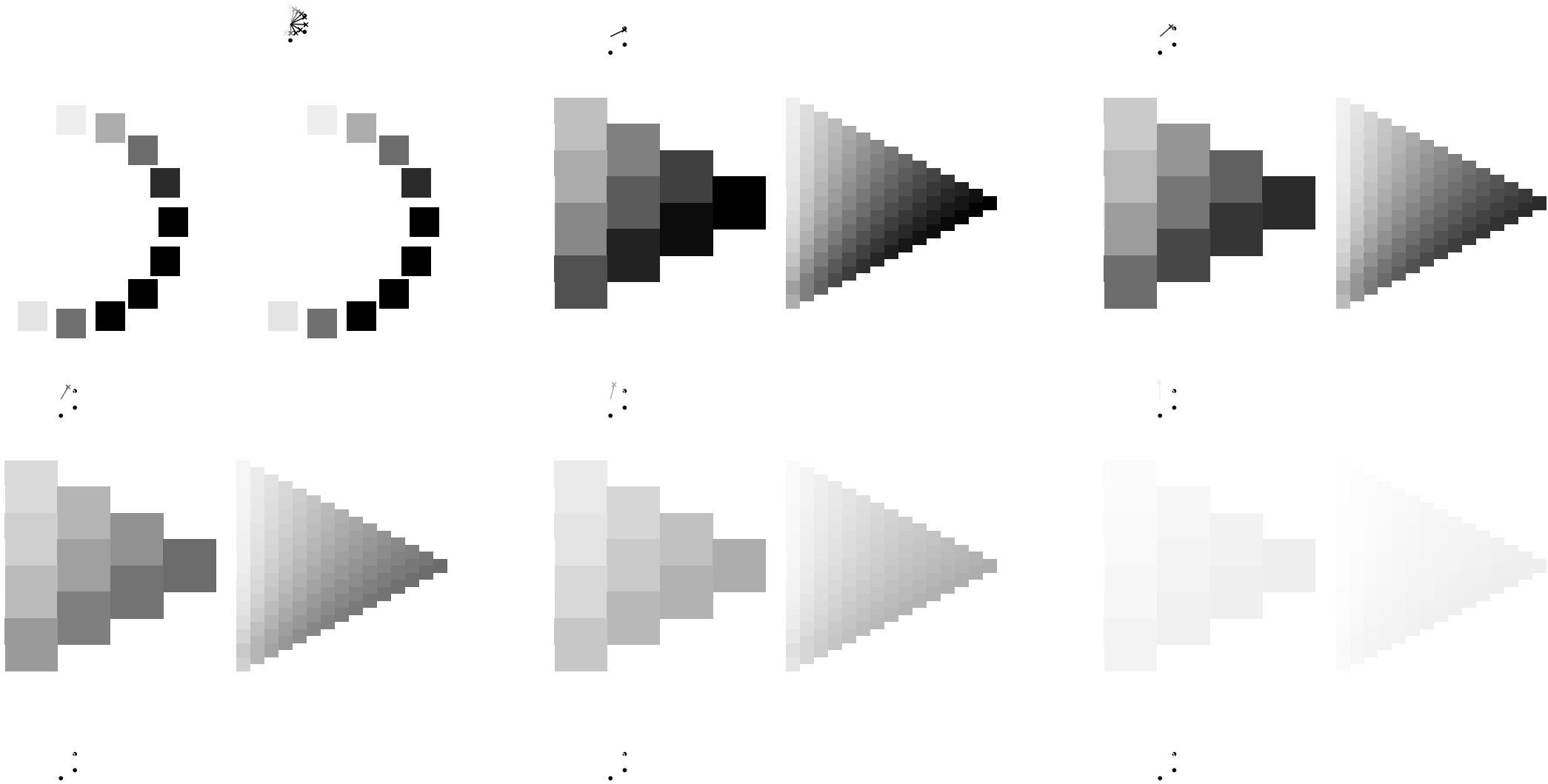
⋮

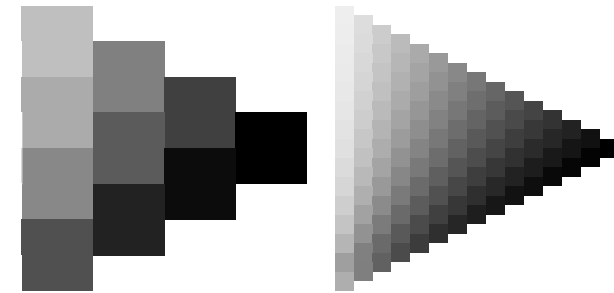
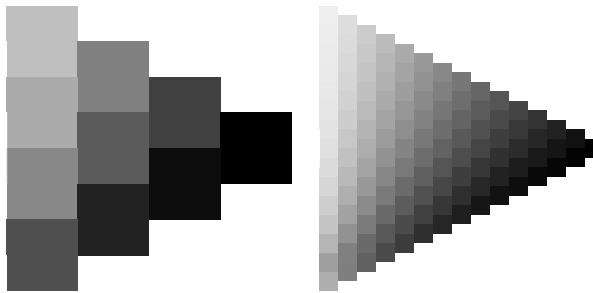
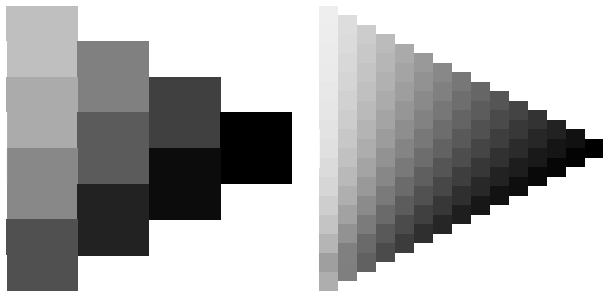
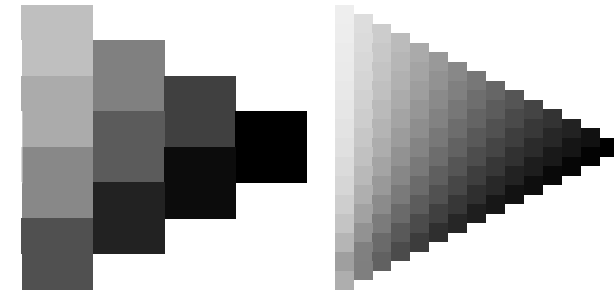
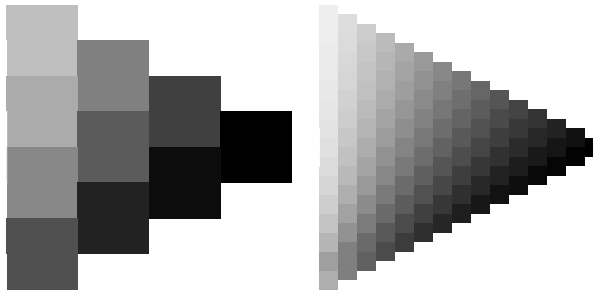
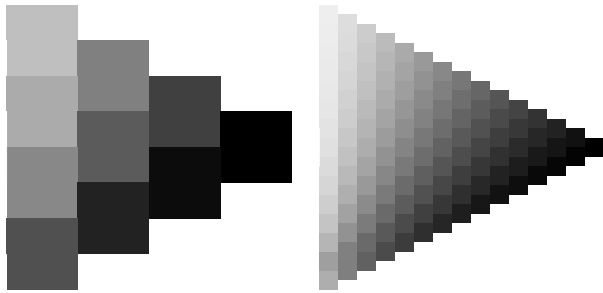
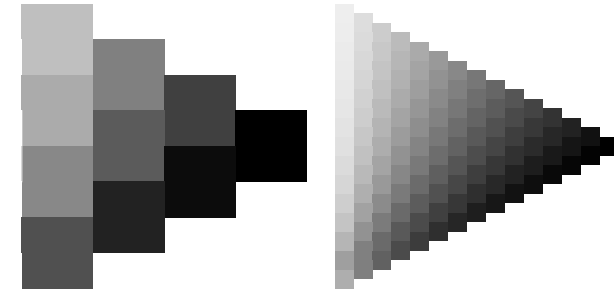
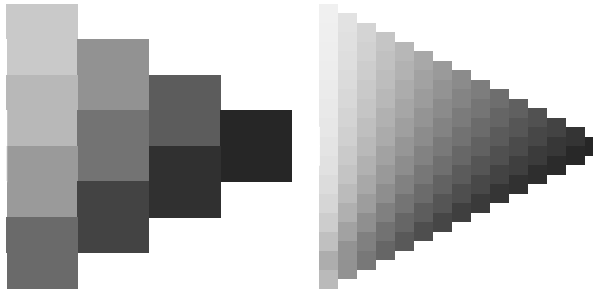
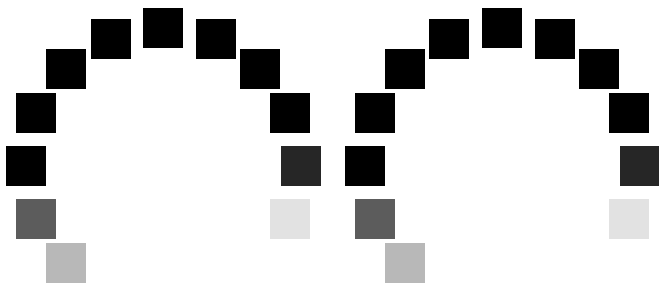


⋮

⋮

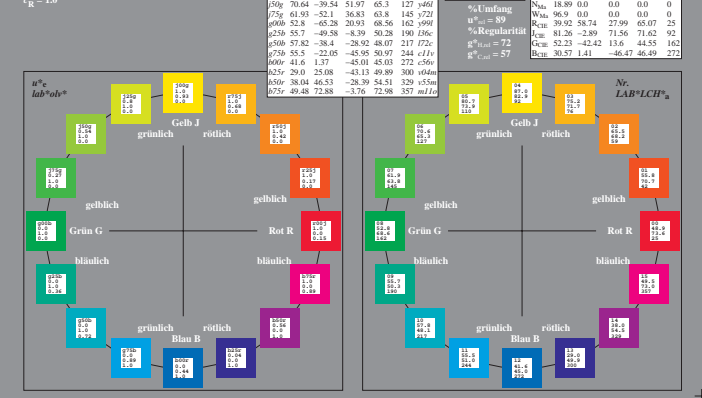




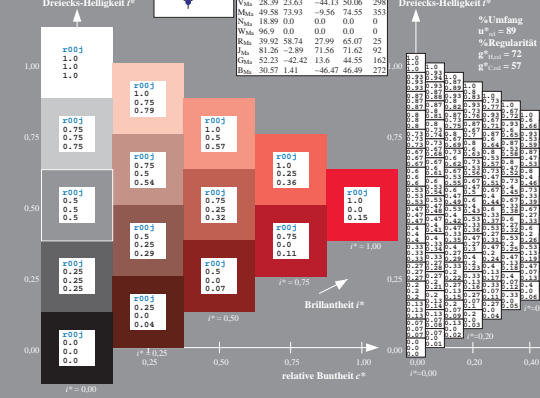


Ein und Ausgabe: Farbmetrisches Drucker-Reflexiv-System ORS19_96a
 Daten für jede Farbe: u^* und v^* und w^* = 00...15
 Elementar-Bunttonen:
 $u^* = 16$ Bunttonen $600; r25j; ... b75r$
 Kontrastreduzierungsfaktor:
 $c_R = 1.0$

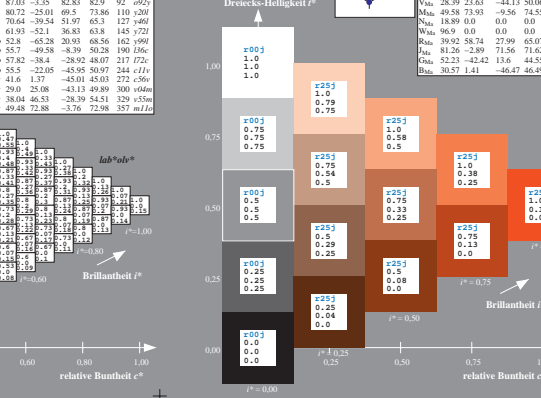
ORS19_96a; adaptierte CIELAB-Daten		ORS19_96a; adaptierte CIELAB-Daten	
L^*	a^*	L^*	a^*
25	58.88 52.39 47.48 70.7 42 017f	25	58.88 52.39 47.48 70.7 42 017f
50	65.45 32.22 58.37 68.65 162 962f	50	65.45 32.22 58.37 68.65 162 962f
75	75.19 17.82 69.41 71.66 76 067f	75	75.19 17.82 69.41 71.66 76 067f
100	87.03 -3.35 82.83 82.9 92 092f	100	87.03 -3.35 82.83 82.9 92 092f
125	90.72 -25.01 69.5 73.86 110 204f	125	90.72 -25.01 69.5 73.86 110 204f
150	70.64 -39.54 51.97 65.3 127 360f	150	70.64 -39.54 51.97 65.3 127 360f
175	61.93 -52.1 36.83 63.8 145 727f	175	61.93 -52.1 36.83 63.8 145 727f
200	52.8 65.28 20.93 68.56 162 962f	200	52.8 65.28 20.93 68.56 162 962f
225	55.7 -49.58 -8.39 50.28 190 186f	225	55.7 -49.58 -8.39 50.28 190 186f
250	57.82 -38.4 -28.82 48.07 217 72f	250	57.82 -38.4 -28.82 48.07 217 72f
275	58.5 -22.05 -45.95 50.97 244 414f	275	58.5 -22.05 -45.95 50.97 244 414f
300	41.6 1.37 -45.01 45.03 272 656f	300	41.6 1.37 -45.01 45.03 272 656f
325	29.0 25.08 -43.13 49.89 300 046f	325	29.0 25.08 -43.13 49.89 300 046f
350	38.04 46.53 -28.39 54.51 329 455f	350	38.04 46.53 -28.39 54.51 329 455f
375	49.48 72.88 -3.76 72.98 357 110f	375	49.48 72.88 -3.76 72.98 357 110f



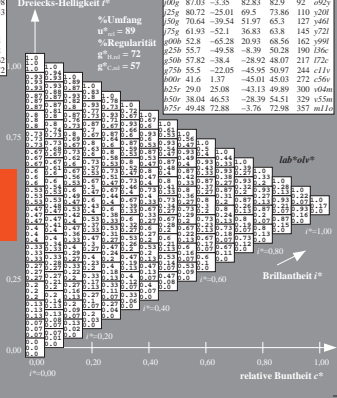
Ein und Ausgabe: Farbmetrisches Drucker-Reflexiv-System ORS19_96 für relatives CIELAB-Buntton $h^* = lab^*h^* = h_{ab}/360 = 0.071$ $u^*c = 00f$
 Daten für jede Farbe: lab^*h^* und lab^*v^*
 Bunttonen:
 $u^* = 070f$ $u^*a = m84f$
 Kontrastreduzierungsfaktor:
 $c_R = 1.0$
 Dreiecks-Heiligkeit I^*



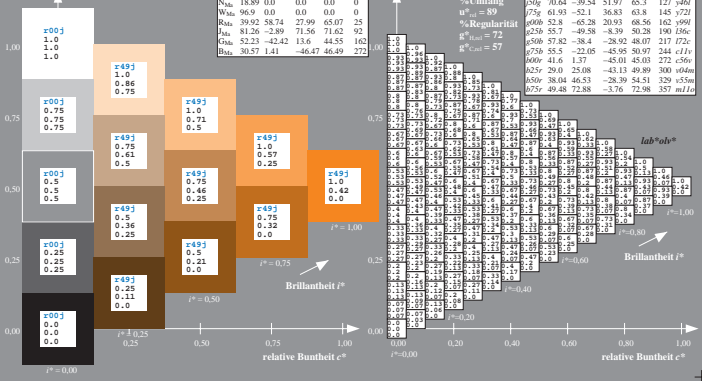
Ein und Ausgabe: Farbmetrisches Drucker-Reflexiv-System ORS19_96 für relatives CIELAB-Buntton $h^* = lab^*h^* = h_{ab}/360 = 0.117$ $u^*c = r25j$
 Daten für jede Farbe: lab^*h^* und lab^*v^*
 Bunttonen:
 $u^* = r25j$ $u^*a = 017f$
 Kontrastreduzierungsfaktor:
 $c_R = 1.0$
 Dreiecks-Heiligkeit I^*



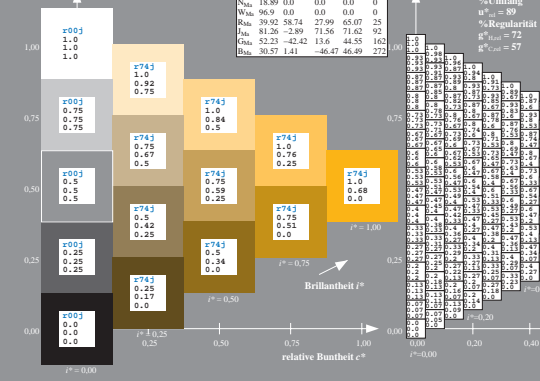
Ein und Ausgabe: Farbmetrisches Drucker-Reflexiv-System ORS19_96 für relatives CIELAB-Buntton $h^* = lab^*h^* = h_{ab}/360 = 0.164$ $u^*c = r50j$
 Daten für jede Farbe: lab^*h^* und lab^*v^*
 Bunttonen:
 $u^* = r50j$ $u^*a = 024f$
 Kontrastreduzierungsfaktor:
 $c_R = 1.0$
 Dreiecks-Heiligkeit I^*



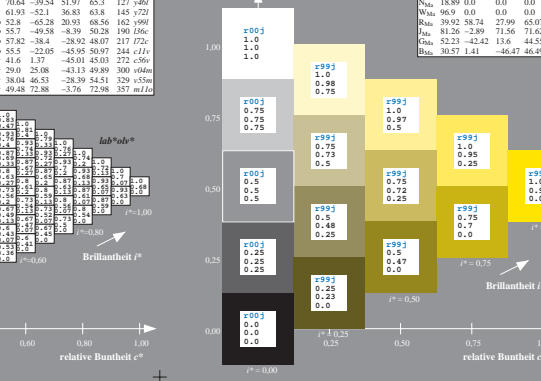
Ein und Ausgabe: Farbmetrisches Drucker-Reflexiv-System ORS19_96 für relatives CIELAB-Buntton $h^* = lab^*h^* = h_{ab}/360 = 0.21$ $u^*c = r75j$
 Daten für jede Farbe: lab^*h^* und lab^*v^*
 Bunttonen:
 $u^* = r75j$ $u^*a = 027f$
 Kontrastreduzierungsfaktor:
 $c_R = 1.0$
 Dreiecks-Heiligkeit I^*



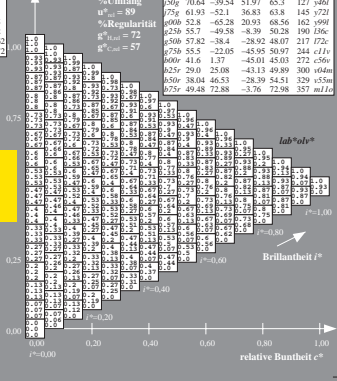
Ein und Ausgabe: Farbmetrisches Drucker-Reflexiv-System ORS19_96 für relatives CIELAB-Buntton $h^* = lab^*h^* = h_{ab}/360 = 0.256$ $u^*c = 00g$
 Daten für jede Farbe: lab^*h^* und lab^*v^*
 Bunttonen:
 $u^* = 00g$ $u^*a = 027f$
 Kontrastreduzierungsfaktor:
 $c_R = 1.0$
 Dreiecks-Heiligkeit I^*



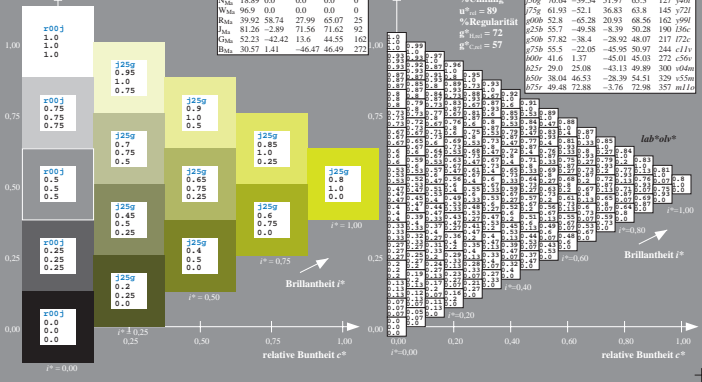
Ein und Ausgabe: Farbmetrisches Drucker-Reflexiv-System ORS19_96 für relatives CIELAB-Buntton $h^* = lab^*h^* = h_{ab}/360 = 0.354$ $u^*c = 50g$
 Daten für jede Farbe: lab^*h^* und lab^*v^*
 Bunttonen:
 $u^* = 50g$ $u^*a = 040f$
 Kontrastreduzierungsfaktor:
 $c_R = 1.0$
 Dreiecks-Heiligkeit I^*



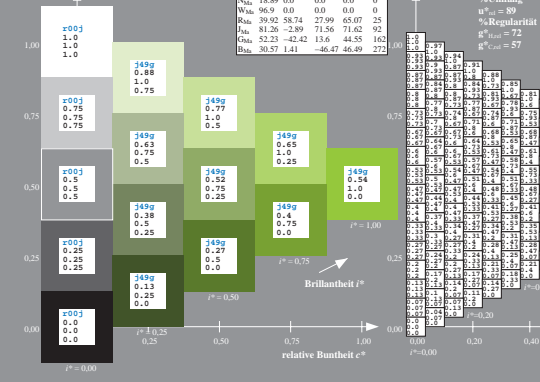
Ein und Ausgabe: Farbmetrisches Drucker-Reflexiv-System ORS19_96 für relatives CIELAB-Buntton $h^* = lab^*h^* = h_{ab}/360 = 0.402$ $u^*c = 75g$
 Daten für jede Farbe: lab^*h^* und lab^*v^*
 Bunttonen:
 $u^* = 75g$ $u^*a = 072f$
 Kontrastreduzierungsfaktor:
 $c_R = 1.0$
 Dreiecks-Heiligkeit I^*



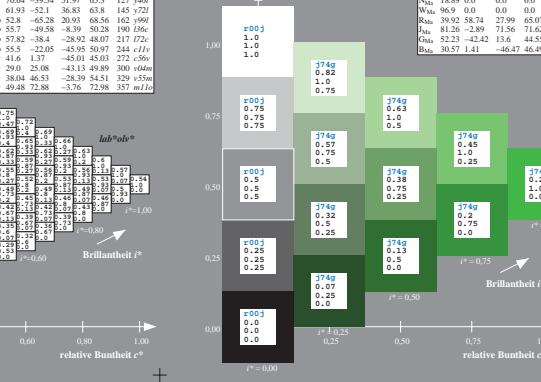
Ein und Ausgabe: Farbmetrisches Drucker-Reflexiv-System ORS19_96 für relatives CIELAB-Buntton $h^* = lab^*h^* = h_{ab}/360 = 0.452$ $u^*c = 25g$
 Daten für jede Farbe: lab^*h^* und lab^*v^*
 Bunttonen:
 $u^* = 25g$ $u^*a = 20f$
 Kontrastreduzierungsfaktor:
 $c_R = 1.0$
 Dreiecks-Heiligkeit I^*



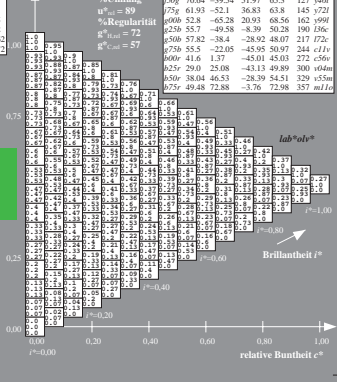
Ein und Ausgabe: Farbmetrisches Drucker-Reflexiv-System ORS19_96 für relatives CIELAB-Buntton $h^* = lab^*h^* = h_{ab}/360 = 0.504$ $u^*c = 50g$
 Daten für jede Farbe: lab^*h^* und lab^*v^*
 Bunttonen:
 $u^* = 50g$ $u^*a = 040f$
 Kontrastreduzierungsfaktor:
 $c_R = 1.0$
 Dreiecks-Heiligkeit I^*



Ein und Ausgabe: Farbmetrisches Drucker-Reflexiv-System ORS19_96 für relatives CIELAB-Buntton $h^* = lab^*h^* = h_{ab}/360 = 0.552$ $u^*c = 75g$
 Daten für jede Farbe: lab^*h^* und lab^*v^*
 Bunttonen:
 $u^* = 75g$ $u^*a = 072f$
 Kontrastreduzierungsfaktor:
 $c_R = 1.0$
 Dreiecks-Heiligkeit I^*



Ein und Ausgabe: Farbmetrisches Drucker-Reflexiv-System ORS19_96 für relatives CIELAB-Buntton $h^* = lab^*h^* = h_{ab}/360 = 0.602$ $u^*c = 75g$
 Daten für jede Farbe: lab^*h^* und lab^*v^*
 Bunttonen:
 $u^* = 75g$ $u^*a = 072f$
 Kontrastreduzierungsfaktor:
 $c_R = 1.0$
 Dreiecks-Heiligkeit I^*



Ein und Ausgabe: Farbmetrisches Drucker-Reflexiv-System ORS19_96a
 Daten für jede Farbe:
 u^*_e und Nummer $N_r = 00 \dots 15$
 Elementar-Bunttonexte:
 $u^*_e = 16$ Bunttonexte $00j, 025j, \dots, b75r$
 Kontrastreduzierungsfaktor:
 $c_R = 1.0$

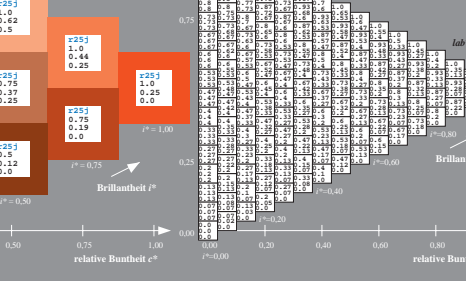
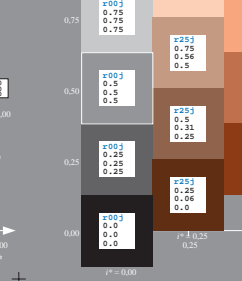
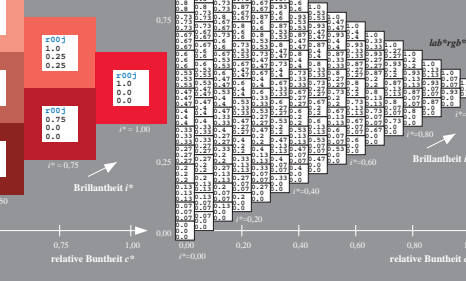
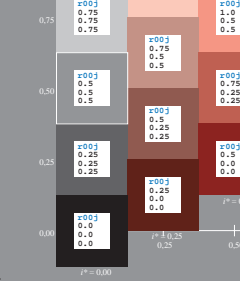
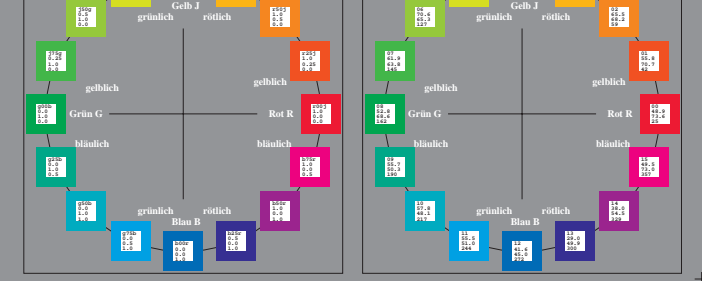
ORS19_96a; adaptierte CIELAB-Daten		ORS19_96a; adaptierte CIELAB-Daten	
L^*	a^*	L^*	a^*
25	58.88	25	58.88
50	58.88	50	58.88
75	58.88	75	58.88
100	58.88	100	58.88

Ein und Ausgabe: Farbmetrisches Drucker-Reflexiv-System ORS19_96 für relative CIELAB-Buntton $h^* = lab^*h^* = h_{ab}/360 = 0.071$ $u^*_e = 00j$
 Daten für jede Farbe:
 lab^*h^* und lab^*c^*
 Bunttonexte:
 $u^*_e = 00j$ $u^*_d = m80$
 Kontrastreduzierungsfaktor:
 $c_R = 1.0$
 Dreiecks-Helligkeit I^*

ORS19_96a; adaptierte CIELAB-Daten		ORS19_96a; adaptierte CIELAB-Daten	
L^*	a^*	L^*	a^*
25	58.88	25	58.88
50	58.88	50	58.88
75	58.88	75	58.88
100	58.88	100	58.88

Ein und Ausgabe: Farbmetrisches Drucker-Reflexiv-System ORS19_96 für relative CIELAB-Buntton $h^* = lab^*h^* = h_{ab}/360 = 0.117$ $u^*_e = 025j$
 Daten für jede Farbe:
 lab^*h^* und lab^*c^*
 Bunttonexte:
 $u^*_e = 025j$ $u^*_d = 075$
 Kontrastreduzierungsfaktor:
 $c_R = 1.0$
 Dreiecks-Helligkeit I^*

ORS19_96a; adaptierte CIELAB-Daten		ORS19_96a; adaptierte CIELAB-Daten	
L^*	a^*	L^*	a^*
25	58.88	25	58.88
50	58.88	50	58.88
75	58.88	75	58.88
100	58.88	100	58.88



Ein und Ausgabe: Farbmetrisches Drucker-Reflexiv-System ORS19_96 für relative CIELAB-Buntton $h^* = lab^*h^* = h_{ab}/360 = 0.164$ $u^*_e = 050j$
 Daten für jede Farbe:
 lab^*h^* und lab^*c^*
 Bunttonexte:
 $u^*_e = 050j$ $u^*_d = 075$
 Kontrastreduzierungsfaktor:
 $c_R = 1.0$
 Dreiecks-Helligkeit I^*

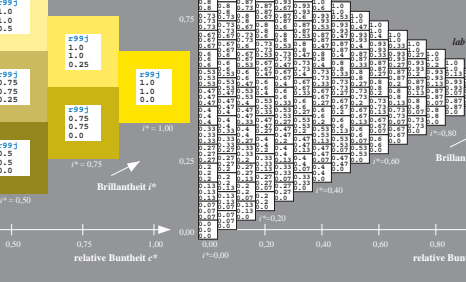
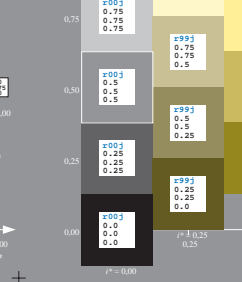
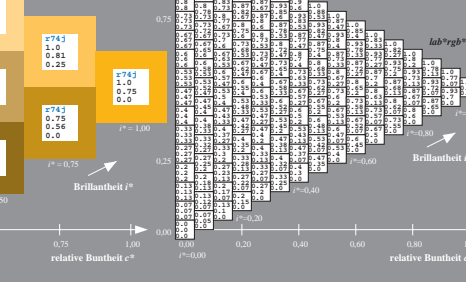
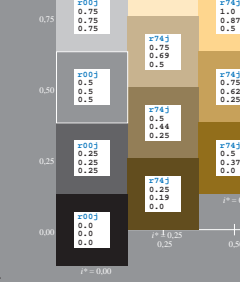
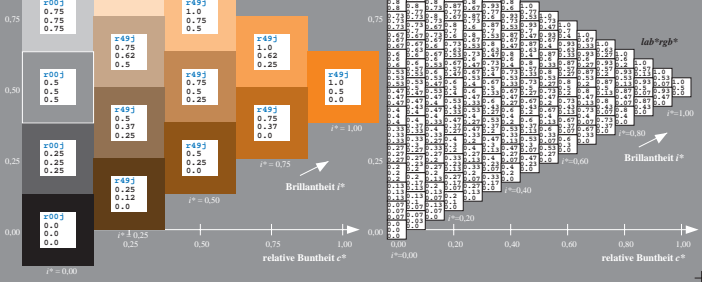
ORS19_96a; adaptierte CIELAB-Daten		ORS19_96a; adaptierte CIELAB-Daten	
L^*	a^*	L^*	a^*
25	58.88	25	58.88
50	58.88	50	58.88
75	58.88	75	58.88
100	58.88	100	58.88

Ein und Ausgabe: Farbmetrisches Drucker-Reflexiv-System ORS19_96 für relative CIELAB-Buntton $h^* = lab^*h^* = h_{ab}/360 = 0.21$ $u^*_e = 075j$
 Daten für jede Farbe:
 lab^*h^* und lab^*c^*
 Bunttonexte:
 $u^*_e = 075j$ $u^*_d = 075$
 Kontrastreduzierungsfaktor:
 $c_R = 1.0$
 Dreiecks-Helligkeit I^*

ORS19_96a; adaptierte CIELAB-Daten		ORS19_96a; adaptierte CIELAB-Daten	
L^*	a^*	L^*	a^*
25	58.88	25	58.88
50	58.88	50	58.88
75	58.88	75	58.88
100	58.88	100	58.88

Ein und Ausgabe: Farbmetrisches Drucker-Reflexiv-System ORS19_96 für relative CIELAB-Buntton $h^* = lab^*h^* = h_{ab}/360 = 0.256$ $u^*_e = 00g$
 Daten für jede Farbe:
 lab^*h^* und lab^*c^*
 Bunttonexte:
 $u^*_e = 00g$ $u^*_d = 075$
 Kontrastreduzierungsfaktor:
 $c_R = 1.0$
 Dreiecks-Helligkeit I^*

ORS19_96a; adaptierte CIELAB-Daten		ORS19_96a; adaptierte CIELAB-Daten	
L^*	a^*	L^*	a^*
25	58.88	25	58.88
50	58.88	50	58.88
75	58.88	75	58.88
100	58.88	100	58.88



Ein und Ausgabe: Farbmetrisches Drucker-Reflexiv-System ORS19_96 für relative CIELAB-Buntton $h^* = lab^*h^* = h_{ab}/360 = 0.305$ $u^*_e = 25g$
 Daten für jede Farbe:
 lab^*h^* und lab^*c^*
 Bunttonexte:
 $u^*_e = 25g$ $u^*_d = 20h$
 Kontrastreduzierungsfaktor:
 $c_R = 1.0$
 Dreiecks-Helligkeit I^*

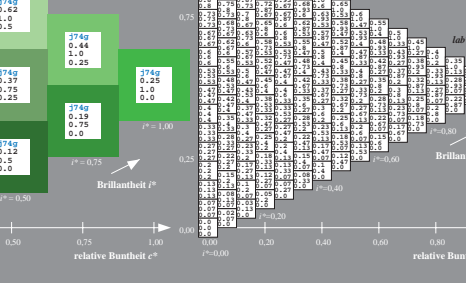
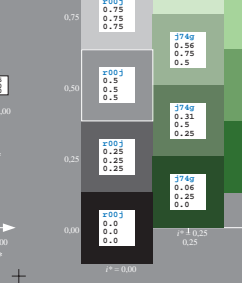
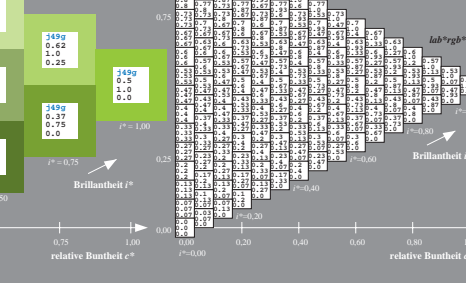
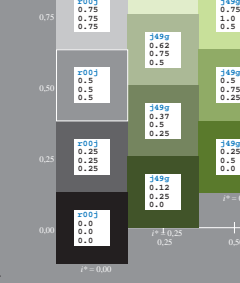
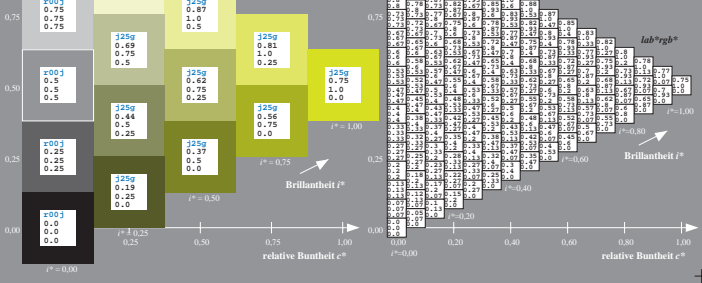
ORS19_96a; adaptierte CIELAB-Daten		ORS19_96a; adaptierte CIELAB-Daten	
L^*	a^*	L^*	a^*
25	58.88	25	58.88
50	58.88	50	58.88
75	58.88	75	58.88
100	58.88	100	58.88

Ein und Ausgabe: Farbmetrisches Drucker-Reflexiv-System ORS19_96 für relative CIELAB-Buntton $h^* = lab^*h^* = h_{ab}/360 = 0.354$ $u^*_e = 50g$
 Daten für jede Farbe:
 lab^*h^* und lab^*c^*
 Bunttonexte:
 $u^*_e = 50g$ $u^*_d = 50g$
 Kontrastreduzierungsfaktor:
 $c_R = 1.0$
 Dreiecks-Helligkeit I^*

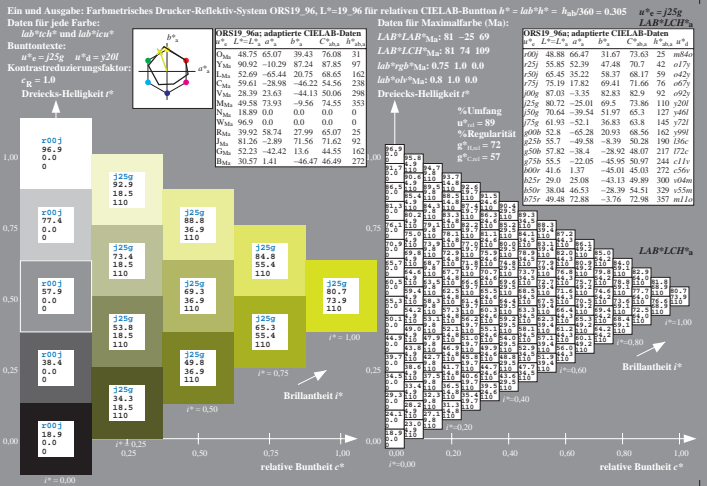
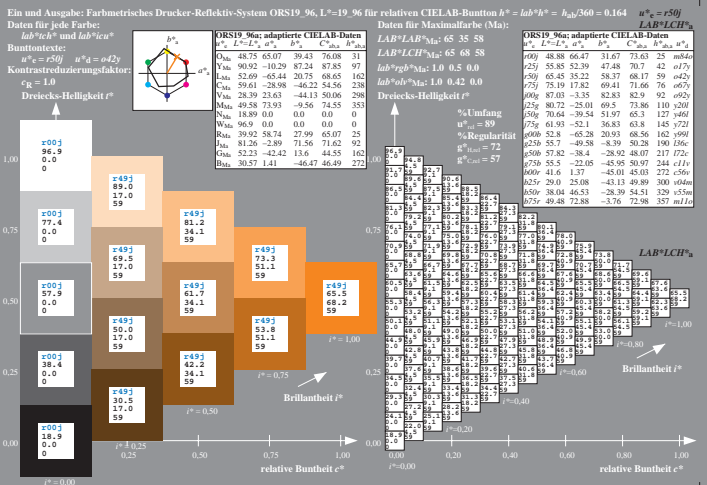
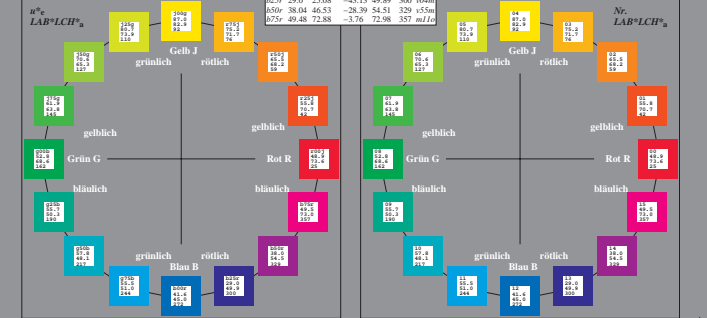
ORS19_96a; adaptierte CIELAB-Daten		ORS19_96a; adaptierte CIELAB-Daten	
L^*	a^*	L^*	a^*
25	58.88	25	58.88
50	58.88	50	58.88
75	58.88	75	58.88
100	58.88	100	58.88

Ein und Ausgabe: Farbmetrisches Drucker-Reflexiv-System ORS19_96 für relative CIELAB-Buntton $h^* = lab^*h^* = h_{ab}/360 = 0.402$ $u^*_e = 75g$
 Daten für jede Farbe:
 lab^*h^* und lab^*c^*
 Bunttonexte:
 $u^*_e = 75g$ $u^*_d = 77h$
 Kontrastreduzierungsfaktor:
 $c_R = 1.0$
 Dreiecks-Helligkeit I^*

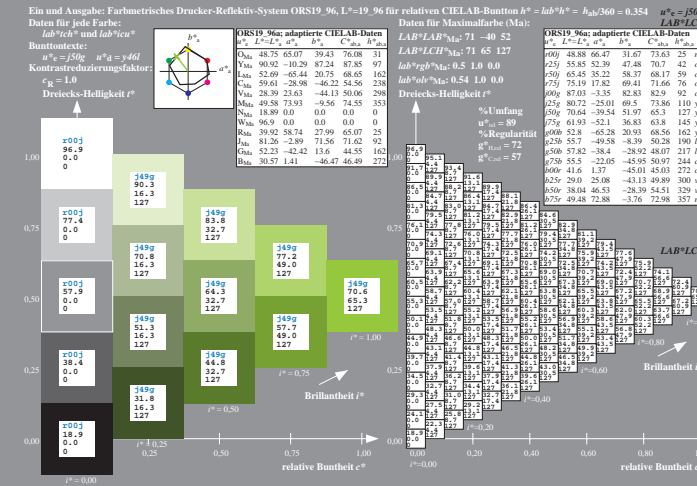
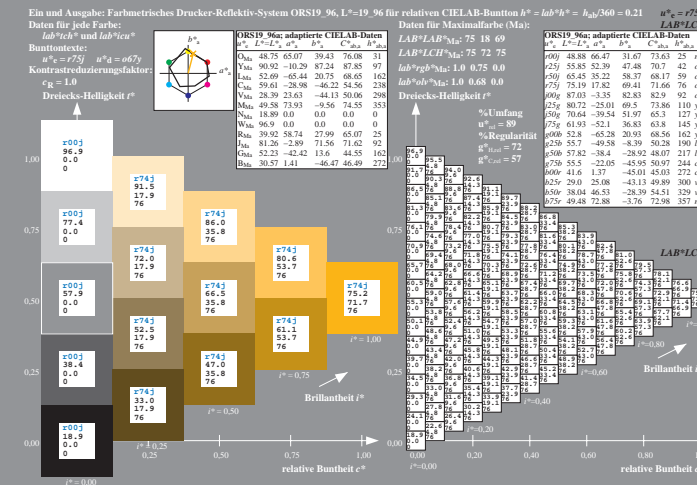
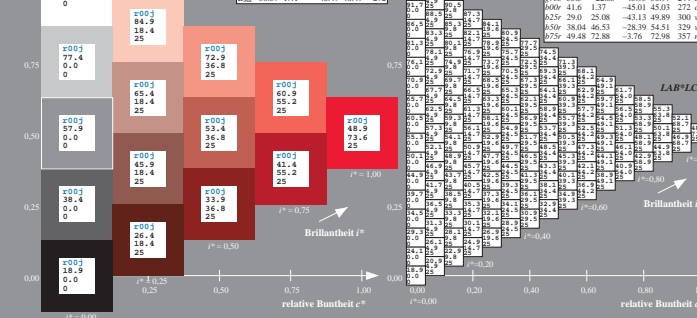
ORS19_96a; adaptierte CIELAB-Daten		ORS19_96a; adaptierte CIELAB-Daten	
L^*	a^*	L^*	a^*
25	58.88	25	58.88
50	58.88	50	58.88
75	58.88	75	58.88
100	58.88	100	58.88



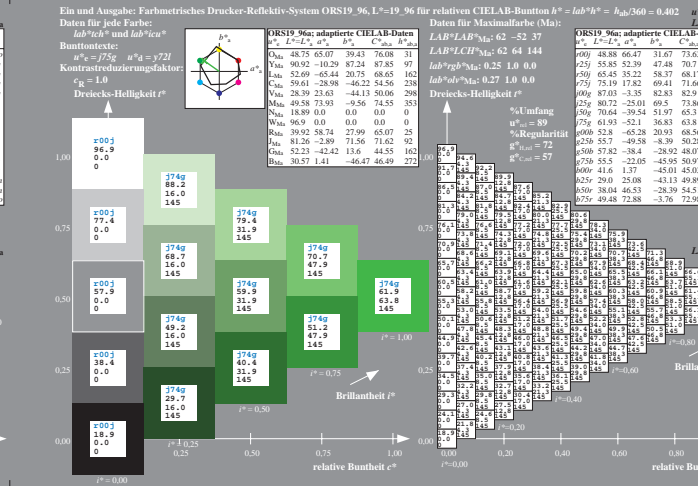
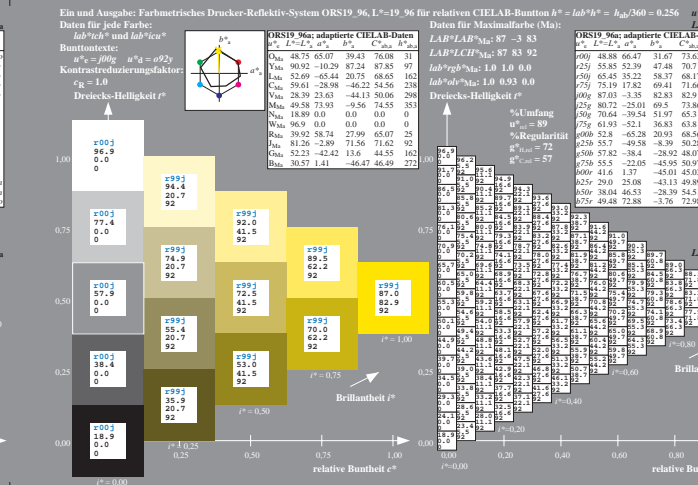
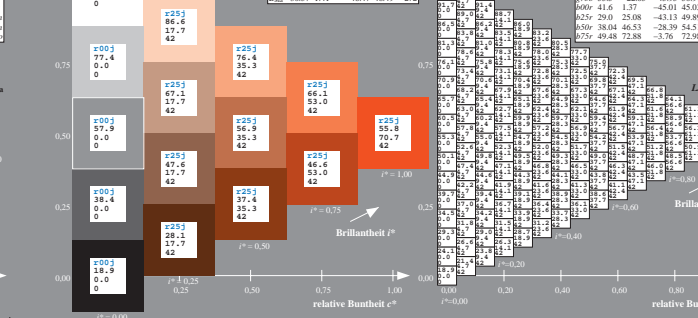
Ein und Ausgabe: Farbmetrisches Drucker-Reflexiv-System ORS19_96a
 Daten für jede Farbe:
 L^* a^* b^* und Nummer Nr. = 00...15
 Elementar-Bunttonset:
 $u^*_R = 16$ Bunttonset 600, 225j, ...-b75r
 Kontrastreduzierungsfaktor:
 $c_R = 1.0$



Ein und Ausgabe: Farbmetrisches Drucker-Reflexiv-System ORS19_96, L*-19.96 für relatives CIAB-Buntton $h^* = \text{lab}^*h = h_{ab}/360 = 0.071$ $u^*_R = 100g$
 Daten für jede Farbe:
 L^* a^* b^* und h^*
 h^* h^* und lab^*h^*
 Bunttonset:
 $u^*_R = 100g$ $u^*_a = m84s$
 Kontrastreduzierungsfaktor:
 $c_R = 1.0$
 Dreiecks-Heiligkeit r^*



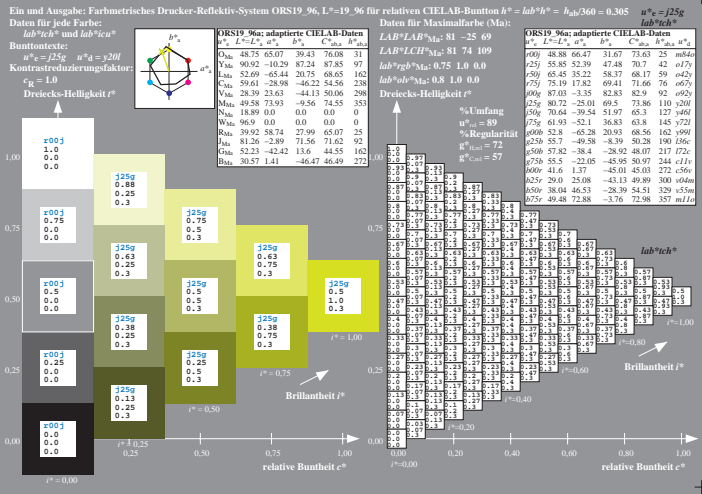
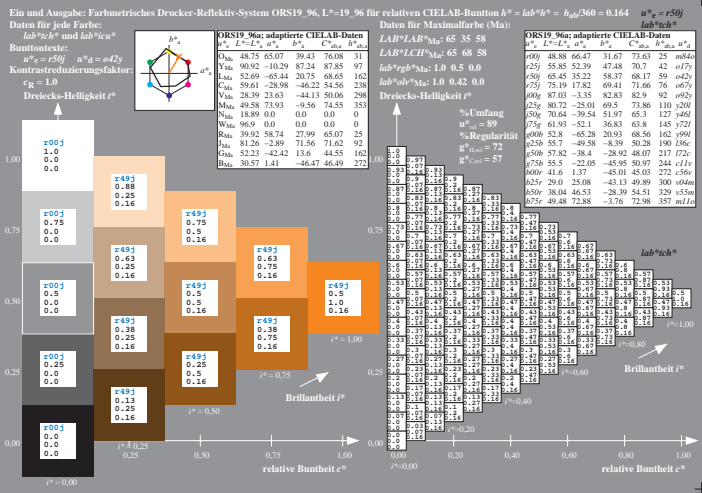
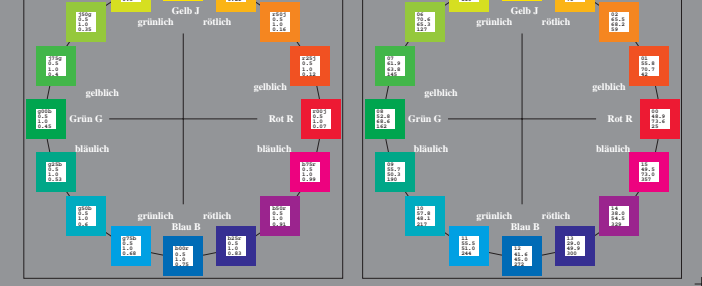
Ein und Ausgabe: Farbmetrisches Drucker-Reflexiv-System ORS19_96, L*-19.96 für relatives CIAB-Buntton $h^* = \text{lab}^*h = h_{ab}/360 = 0.117$ $u^*_R = 125j$
 Daten für jede Farbe:
 L^* a^* b^* und h^*
 h^* h^* und lab^*h^*
 Bunttonset:
 $u^*_R = 125j$ $u^*_a = 0.17j$
 Kontrastreduzierungsfaktor:
 $c_R = 1.0$
 Dreiecks-Heiligkeit r^*



Ein und Ausgabe: Farbmetrisches Drucker-Reflexiv-System ORS19_96a
 Daten für jede Farbe: u^*_e und Nummer Nr. = 00...15
 Elementar-Bunttonen: $u^*_e = 16$ Bunttonen $00j, 025j, \dots, 075j$
 Kontrastreduzierungsfaktor: $c_R = 1.0$

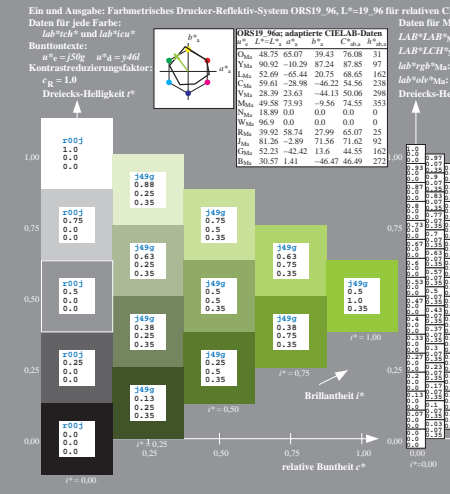
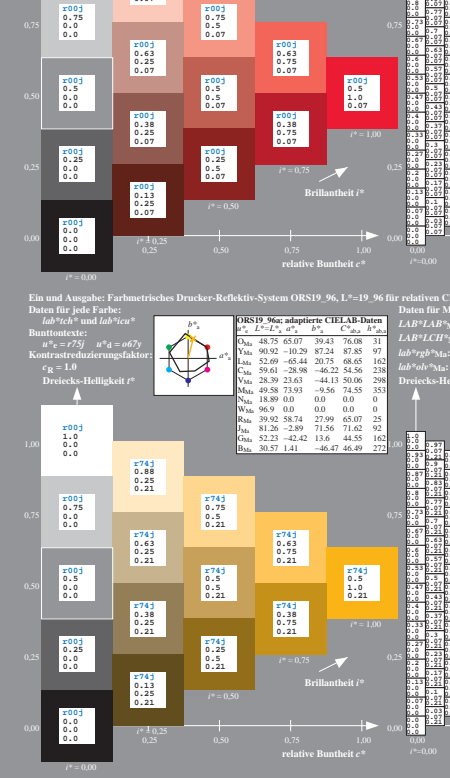
ORS19_96a; adaptierte CIELAB-Daten
 $L^*_{100}, a^*_{100}, b^*_{100}, C_{100}^*, h_{100}^*$
 25j 55.85 52.39 47.48 70.7 42 0j75
 25j 65.45 32.22 58.37 68.17 59 0a25
 25j 75.19 17.82 69.41 71.66 76 0e75
 25j 87.03 -3.35 82.83 82.9 92 0e25
 25j 90.72 -25.01 69.5 73.86 110 250j
 50j 70.64 -39.54 51.97 65.3 127 3a60
 75j 61.93 -52.1 36.83 63.8 145 372j
 90j 52.8 -65.28 20.93 68.56 162 399j
 95j 46.97 -69.58 8.39 50.28 190 186j
 95j 57.82 -38.4 -28.02 48.07 217 72j
 95j 52.23 -42.42 13.6 44.55 162j
 95j 41.6 1.37 -45.01 45.03 272 256j
 95j 49.48 72.88 -3.76 72.98 357 310j

ORS19_96a; adaptierte CIELAB-Daten
 $L^*_{100}, a^*_{100}, b^*_{100}, C_{100}^*, h_{100}^*$
 25j 48.75 65.07 39.43 76.08 31j
 25j 55.85 52.39 47.48 70.7 42 0j75
 25j 65.45 32.22 58.37 68.17 59 0a25
 25j 75.19 17.82 69.41 71.66 76 0e75
 25j 87.03 -3.35 82.83 82.9 92 0e25
 25j 90.72 -25.01 69.5 73.86 110 250j
 50j 70.64 -39.54 51.97 65.3 127 3a60
 75j 61.93 -52.1 36.83 63.8 145 372j
 90j 52.8 -65.28 20.93 68.56 162 399j
 95j 46.97 -69.58 8.39 50.28 190 186j
 95j 57.82 -38.4 -28.02 48.07 217 72j
 95j 52.23 -42.42 13.6 44.55 162j
 95j 41.6 1.37 -45.01 45.03 272 256j
 95j 49.48 72.88 -3.76 72.98 357 310j



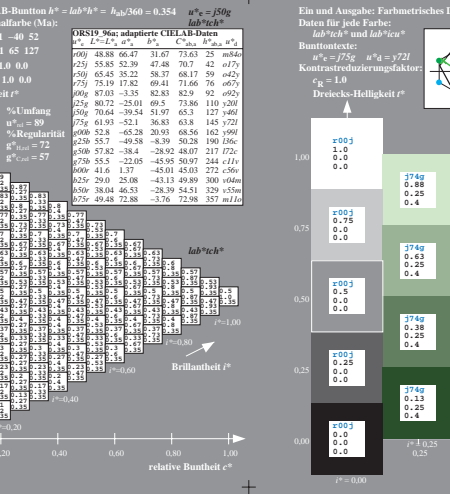
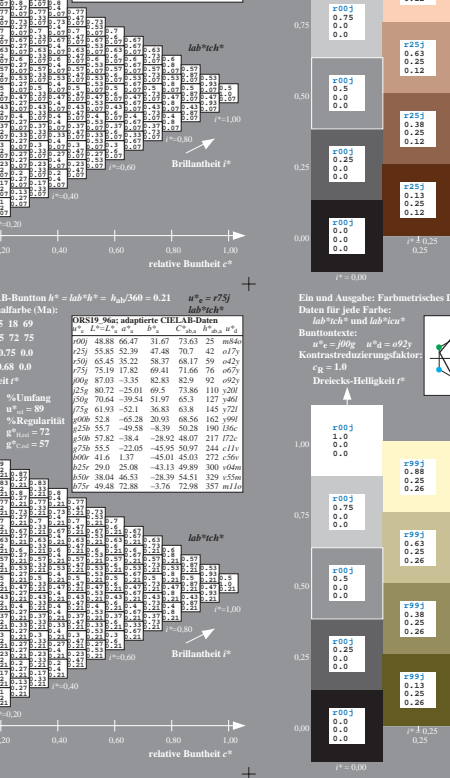
Ein und Ausgabe: Farbmetrisches Drucker-Reflexiv-System ORS19_96, L*=19_96 für relative CIELAB-Buntton $h^* = lab^*h^* = h_{ab}/360 = 0.071$ $u^*_e = r00j$
 Daten für jede Farbe: lab^*ich^* und lab^*vic^*
 Bunttonstexte:
 $u^*_e = r00j$ $u^*_d = m80j$
 Kontrastreduzierungsfaktor:
 $c_R = 1.0$
 Dreiecks-Heiligkeit i^*

ORS19_96a; adaptierte CIELAB-Daten
 $L^*_{100}, a^*_{100}, b^*_{100}, C_{100}^*, h_{100}^*$
 25j 48.75 65.07 39.43 76.08 31j
 25j 55.85 52.39 47.48 70.7 42 0j75
 25j 65.45 32.22 58.37 68.17 59 0a25
 25j 75.19 17.82 69.41 71.66 76 0e75
 25j 87.03 -3.35 82.83 82.9 92 0e25
 25j 90.72 -25.01 69.5 73.86 110 250j
 50j 70.64 -39.54 51.97 65.3 127 3a60
 75j 61.93 -52.1 36.83 63.8 145 372j
 90j 52.8 -65.28 20.93 68.56 162 399j
 95j 46.97 -69.58 8.39 50.28 190 186j
 95j 57.82 -38.4 -28.02 48.07 217 72j
 95j 52.23 -42.42 13.6 44.55 162j
 95j 41.6 1.37 -45.01 45.03 272 256j
 95j 49.48 72.88 -3.76 72.98 357 310j



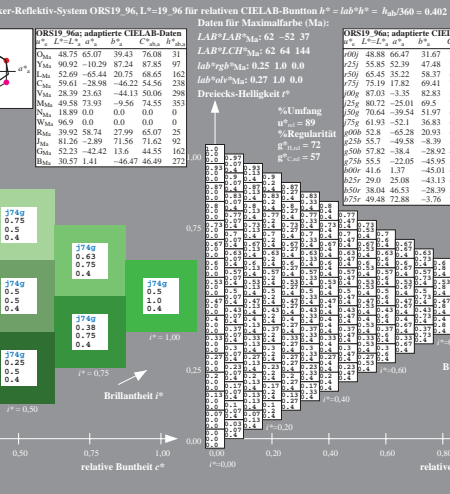
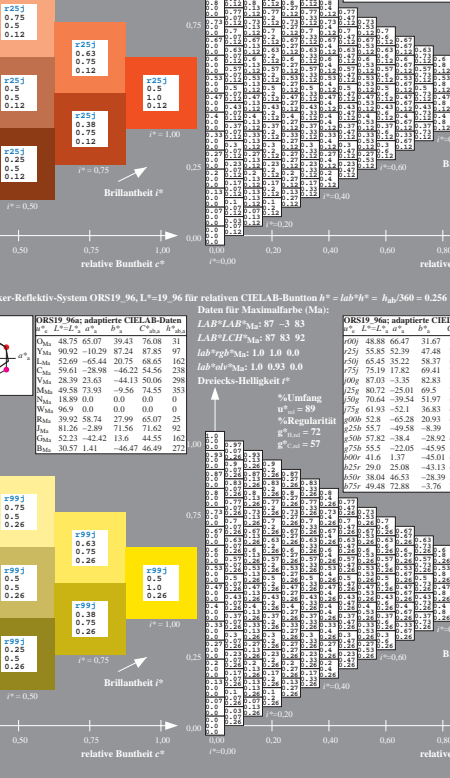
Ein und Ausgabe: Farbmetrisches Drucker-Reflexiv-System ORS19_96, L*=19_96 für relative CIELAB-Buntton $h^* = lab^*h^* = h_{ab}/360 = 0.117$ $u^*_e = r25j$
 Daten für jede Farbe: lab^*ich^* und lab^*vic^*
 Bunttonstexte:
 $u^*_e = r25j$ $u^*_d = 0j75$
 Kontrastreduzierungsfaktor:
 $c_R = 1.0$
 Dreiecks-Heiligkeit i^*

ORS19_96a; adaptierte CIELAB-Daten
 $L^*_{100}, a^*_{100}, b^*_{100}, C_{100}^*, h_{100}^*$
 25j 48.75 65.07 39.43 76.08 31j
 25j 55.85 52.39 47.48 70.7 42 0j75
 25j 65.45 32.22 58.37 68.17 59 0a25
 25j 75.19 17.82 69.41 71.66 76 0e75
 25j 87.03 -3.35 82.83 82.9 92 0e25
 25j 90.72 -25.01 69.5 73.86 110 250j
 50j 70.64 -39.54 51.97 65.3 127 3a60
 75j 61.93 -52.1 36.83 63.8 145 372j
 90j 52.8 -65.28 20.93 68.56 162 399j
 95j 46.97 -69.58 8.39 50.28 190 186j
 95j 57.82 -38.4 -28.02 48.07 217 72j
 95j 52.23 -42.42 13.6 44.55 162j
 95j 41.6 1.37 -45.01 45.03 272 256j
 95j 49.48 72.88 -3.76 72.98 357 310j

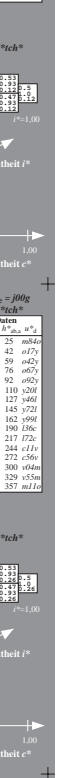


Ein und Ausgabe: Farbmetrisches Drucker-Reflexiv-System ORS19_96, L*=19_96 für relative CIELAB-Buntton $h^* = lab^*h^* = h_{ab}/360 = 0.164$ $u^*_e = r50j$
 Daten für jede Farbe: lab^*ich^* und lab^*vic^*
 Bunttonstexte:
 $u^*_e = r50j$ $u^*_d = 0j25$
 Kontrastreduzierungsfaktor:
 $c_R = 1.0$
 Dreiecks-Heiligkeit i^*

ORS19_96a; adaptierte CIELAB-Daten
 $L^*_{100}, a^*_{100}, b^*_{100}, C_{100}^*, h_{100}^*$
 25j 48.75 65.07 39.43 76.08 31j
 25j 55.85 52.39 47.48 70.7 42 0j75
 25j 65.45 32.22 58.37 68.17 59 0a25
 25j 75.19 17.82 69.41 71.66 76 0e75
 25j 87.03 -3.35 82.83 82.9 92 0e25
 25j 90.72 -25.01 69.5 73.86 110 250j
 50j 70.64 -39.54 51.97 65.3 127 3a60
 75j 61.93 -52.1 36.83 63.8 145 372j
 90j 52.8 -65.28 20.93 68.56 162 399j
 95j 46.97 -69.58 8.39 50.28 190 186j
 95j 57.82 -38.4 -28.02 48.07 217 72j
 95j 52.23 -42.42 13.6 44.55 162j
 95j 41.6 1.37 -45.01 45.03 272 256j
 95j 49.48 72.88 -3.76 72.98 357 310j



Ein und Ausgabe: Farbmetrisches Drucker-Reflexiv-System ORS19_96, L*=19_96 für relative CIELAB-Buntton $h^* = lab^*h^* = h_{ab}/360 = 0.21$ $u^*_e = r75j$
 Daten für jede Farbe: lab^*ich^* und lab^*vic^*
 Bunttonstexte:
 $u^*_e = r75j$ $u^*_d = 0j12$
 Kontrastreduzierungsfaktor:
 $c_R = 1.0$
 Dreiecks-Heiligkeit i^*



Ein und Ausgabe: Farbmetrisches Drucker-Reflexiv-System ORS19_96a
Daten für jede Farbe:
 u^*_e und Nummer $N_e = 00 \dots 15$
Elementar-Bunttonstexte:
 $u^*_e = 16$ Bunttonne 000_1 $e25_j$ $u^*_e = b75r$
Kontrastreduzierungsfaktor:
 $c_R = 1.0$

ORS19_96a; adaptierte CIELAB-Daten
Daten für Maximalfarbe (Ma):
 $L^* a^* b^*$
LAB¹LAB²Ma: 73.63 25 m04a
LAB¹LCH¹Ma: 65 68 88
LAB¹rb¹Ma: 1.0 0.5 0.0
Dreiecks-Helligkeit I^*
%Umfang $u^*_e = 89$
%Regularität $R^*_{reg} = 72$
 $R^*_{reg} = 57$

ORS19_96a; adaptierte CIELAB-Daten
Daten für Maximalfarbe (Ma):
 $L^* a^* b^*$
LAB¹LAB²Ma: 73.63 25 m04a
LAB¹LCH¹Ma: 65 68 88
LAB¹rb¹Ma: 1.0 0.5 0.0
Dreiecks-Helligkeit I^*
%Umfang $u^*_e = 89$
%Regularität $R^*_{reg} = 72$
 $R^*_{reg} = 57$

Ein und Ausgabe: Farbmetrisches Drucker-Reflexiv-System ORS19_96
Daten für jede Farbe:
 lab^*ich^* und lab^*ica^*
Bunttonstexte:
 $u^*_e = r00j$ $u^*_d = m84o$
Kontrastreduzierungsfaktor:
 $c_R = 1.0$
Dreiecks-Helligkeit I^*

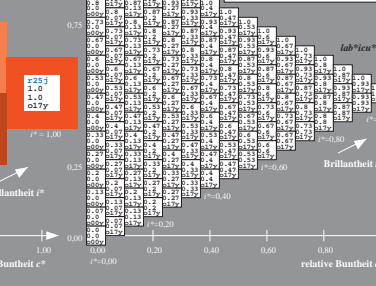
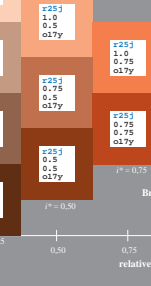
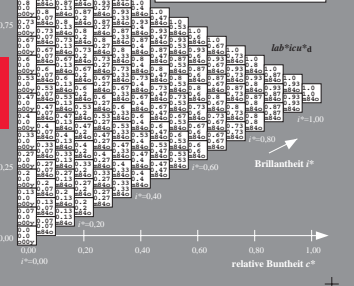
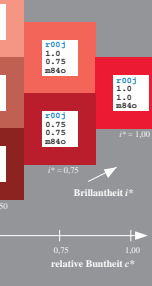
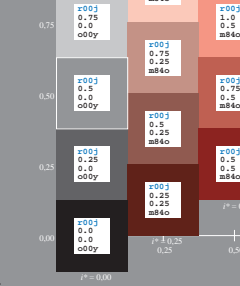
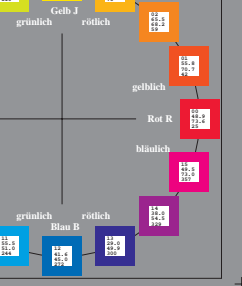
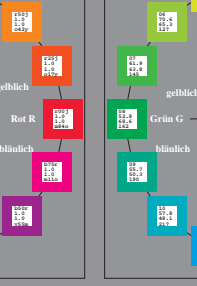
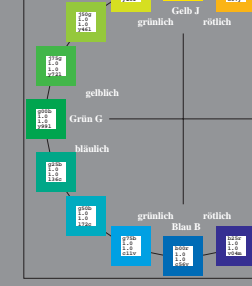
ORS19_96a; adaptierte CIELAB-Daten
Daten für Maximalfarbe (Ma):
 $L^* a^* b^*$
LAB¹LAB²Ma: 49 66 32
LAB¹LCH¹Ma: 49 74 25
LAB¹rb¹Ma: 1.0 0.0 0.15
Dreiecks-Helligkeit I^*
%Umfang $u^*_e = 89$
%Regularität $R^*_{reg} = 72$
 $R^*_{reg} = 57$

ORS19_96a; adaptierte CIELAB-Daten
Daten für Maximalfarbe (Ma):
 $L^* a^* b^*$
LAB¹LAB²Ma: 49 66 32
LAB¹LCH¹Ma: 49 74 25
LAB¹rb¹Ma: 1.0 0.0 0.15
Dreiecks-Helligkeit I^*
%Umfang $u^*_e = 89$
%Regularität $R^*_{reg} = 72$
 $R^*_{reg} = 57$

Ein und Ausgabe: Farbmetrisches Drucker-Reflexiv-System ORS19_96
Daten für jede Farbe:
 lab^*ich^* und lab^*ica^*
Bunttonstexte:
 $u^*_e = r25j$ $u^*_d = o17y$
Kontrastreduzierungsfaktor:
 $c_R = 1.0$
Dreiecks-Helligkeit I^*

ORS19_96a; adaptierte CIELAB-Daten
Daten für Maximalfarbe (Ma):
 $L^* a^* b^*$
LAB¹LAB²Ma: 56 53 47
LAB¹LCH¹Ma: 56 71 42
LAB¹rb¹Ma: 1.0 0.25 0.0
Dreiecks-Helligkeit I^*
%Umfang $u^*_e = 89$
%Regularität $R^*_{reg} = 72$
 $R^*_{reg} = 57$

ORS19_96a; adaptierte CIELAB-Daten
Daten für Maximalfarbe (Ma):
 $L^* a^* b^*$
LAB¹LAB²Ma: 56 53 47
LAB¹LCH¹Ma: 56 71 42
LAB¹rb¹Ma: 1.0 0.25 0.0
Dreiecks-Helligkeit I^*
%Umfang $u^*_e = 89$
%Regularität $R^*_{reg} = 72$
 $R^*_{reg} = 57$



Ein und Ausgabe: Farbmetrisches Drucker-Reflexiv-System ORS19_96
Daten für jede Farbe:
 lab^*ich^* und lab^*ica^*
Bunttonstexte:
 $u^*_e = r50j$ $u^*_d = o42y$
Kontrastreduzierungsfaktor:
 $c_R = 1.0$
Dreiecks-Helligkeit I^*

ORS19_96a; adaptierte CIELAB-Daten
Daten für Maximalfarbe (Ma):
 $L^* a^* b^*$
LAB¹LAB²Ma: 65 65 88
LAB¹LCH¹Ma: 65 68 88
LAB¹rb¹Ma: 1.0 0.5 0.0
Dreiecks-Helligkeit I^*
%Umfang $u^*_e = 89$
%Regularität $R^*_{reg} = 72$
 $R^*_{reg} = 57$

ORS19_96a; adaptierte CIELAB-Daten
Daten für Maximalfarbe (Ma):
 $L^* a^* b^*$
LAB¹LAB²Ma: 65 65 88
LAB¹LCH¹Ma: 65 68 88
LAB¹rb¹Ma: 1.0 0.5 0.0
Dreiecks-Helligkeit I^*
%Umfang $u^*_e = 89$
%Regularität $R^*_{reg} = 72$
 $R^*_{reg} = 57$

Ein und Ausgabe: Farbmetrisches Drucker-Reflexiv-System ORS19_96
Daten für jede Farbe:
 lab^*ich^* und lab^*ica^*
Bunttonstexte:
 $u^*_e = r75j$ $u^*_d = o27y$
Kontrastreduzierungsfaktor:
 $c_R = 1.0$
Dreiecks-Helligkeit I^*

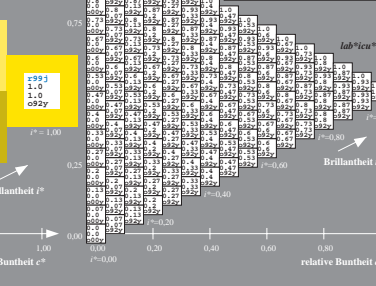
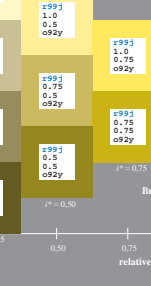
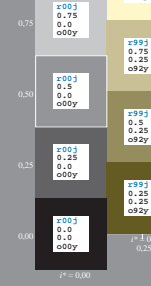
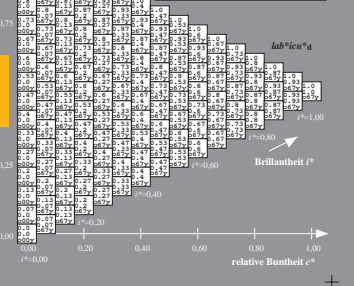
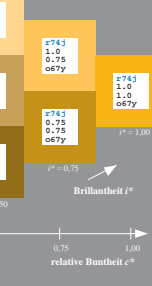
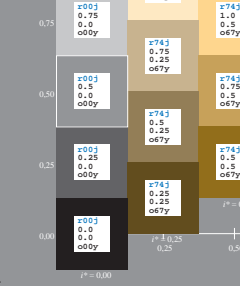
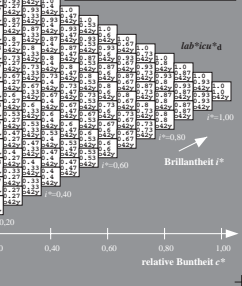
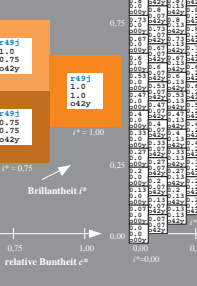
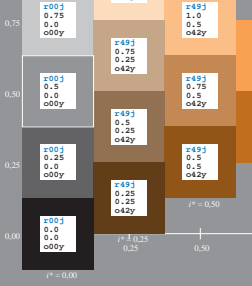
ORS19_96a; adaptierte CIELAB-Daten
Daten für Maximalfarbe (Ma):
 $L^* a^* b^*$
LAB¹LAB²Ma: 75 18 69
LAB¹LCH¹Ma: 75 18 69
LAB¹rb¹Ma: 1.0 0.75 0.0
Dreiecks-Helligkeit I^*
%Umfang $u^*_e = 89$
%Regularität $R^*_{reg} = 72$
 $R^*_{reg} = 57$

ORS19_96a; adaptierte CIELAB-Daten
Daten für Maximalfarbe (Ma):
 $L^* a^* b^*$
LAB¹LAB²Ma: 75 18 69
LAB¹LCH¹Ma: 75 18 69
LAB¹rb¹Ma: 1.0 0.75 0.0
Dreiecks-Helligkeit I^*
%Umfang $u^*_e = 89$
%Regularität $R^*_{reg} = 72$
 $R^*_{reg} = 57$

Ein und Ausgabe: Farbmetrisches Drucker-Reflexiv-System ORS19_96
Daten für jede Farbe:
 lab^*ich^* und lab^*ica^*
Bunttonstexte:
 $u^*_e = r00g$ $u^*_d = o22y$
Kontrastreduzierungsfaktor:
 $c_R = 1.0$
Dreiecks-Helligkeit I^*

ORS19_96a; adaptierte CIELAB-Daten
Daten für Maximalfarbe (Ma):
 $L^* a^* b^*$
LAB¹LAB²Ma: 87 -3 83
LAB¹LCH¹Ma: 87 -3 83
LAB¹rb¹Ma: 1.0 1.0 0.0
Dreiecks-Helligkeit I^*
%Umfang $u^*_e = 89$
%Regularität $R^*_{reg} = 72$
 $R^*_{reg} = 57$

ORS19_96a; adaptierte CIELAB-Daten
Daten für Maximalfarbe (Ma):
 $L^* a^* b^*$
LAB¹LAB²Ma: 87 -3 83
LAB¹LCH¹Ma: 87 -3 83
LAB¹rb¹Ma: 1.0 1.0 0.0
Dreiecks-Helligkeit I^*
%Umfang $u^*_e = 89$
%Regularität $R^*_{reg} = 72$
 $R^*_{reg} = 57$



Ein und Ausgabe: Farbmetrisches Drucker-Reflexiv-System ORS19_96
Daten für jede Farbe:
 lab^*ich^* und lab^*ica^*
Bunttonstexte:
 $u^*_e = r25g$ $u^*_d = z00l$
Kontrastreduzierungsfaktor:
 $c_R = 1.0$
Dreiecks-Helligkeit I^*

ORS19_96a; adaptierte CIELAB-Daten
Daten für Maximalfarbe (Ma):
 $L^* a^* b^*$
LAB¹LAB²Ma: 81 -25 69
LAB¹LCH¹Ma: 81 74 109
LAB¹rb¹Ma: 0.75 1.0 0.0
Dreiecks-Helligkeit I^*
%Umfang $u^*_e = 89$
%Regularität $R^*_{reg} = 72$
 $R^*_{reg} = 57$

ORS19_96a; adaptierte CIELAB-Daten
Daten für Maximalfarbe (Ma):
 $L^* a^* b^*$
LAB¹LAB²Ma: 81 -25 69
LAB¹LCH¹Ma: 81 74 109
LAB¹rb¹Ma: 0.75 1.0 0.0
Dreiecks-Helligkeit I^*
%Umfang $u^*_e = 89$
%Regularität $R^*_{reg} = 72$
 $R^*_{reg} = 57$

Ein und Ausgabe: Farbmetrisches Drucker-Reflexiv-System ORS19_96
Daten für jede Farbe:
 lab^*ich^* und lab^*ica^*
Bunttonstexte:
 $u^*_e = r50g$ $u^*_d = z46l$
Kontrastreduzierungsfaktor:
 $c_R = 1.0$
Dreiecks-Helligkeit I^*

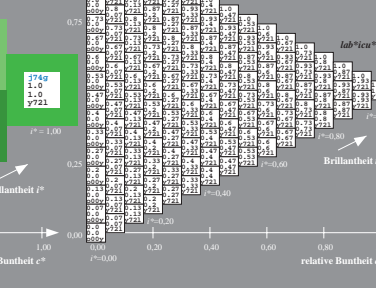
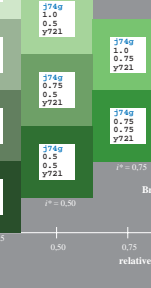
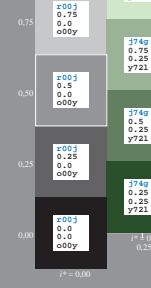
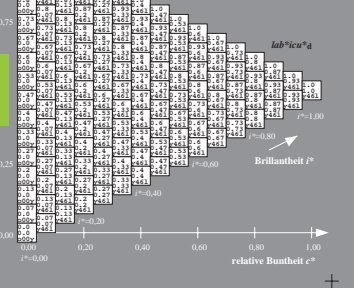
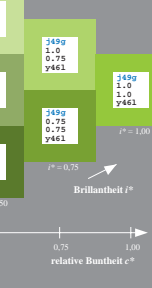
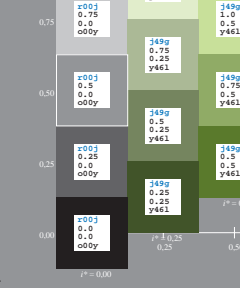
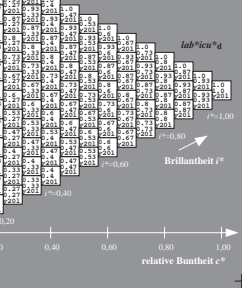
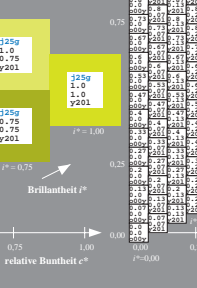
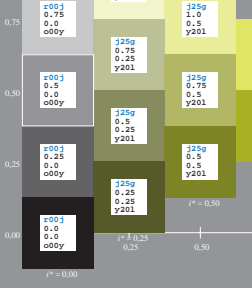
ORS19_96a; adaptierte CIELAB-Daten
Daten für Maximalfarbe (Ma):
 $L^* a^* b^*$
LAB¹LAB²Ma: 71 -40 52
LAB¹LCH¹Ma: 71 65 127
LAB¹rb¹Ma: 0.5 1.0 0.0
Dreiecks-Helligkeit I^*
%Umfang $u^*_e = 89$
%Regularität $R^*_{reg} = 72$
 $R^*_{reg} = 57$

ORS19_96a; adaptierte CIELAB-Daten
Daten für Maximalfarbe (Ma):
 $L^* a^* b^*$
LAB¹LAB²Ma: 71 -40 52
LAB¹LCH¹Ma: 71 65 127
LAB¹rb¹Ma: 0.5 1.0 0.0
Dreiecks-Helligkeit I^*
%Umfang $u^*_e = 89$
%Regularität $R^*_{reg} = 72$
 $R^*_{reg} = 57$

Ein und Ausgabe: Farbmetrisches Drucker-Reflexiv-System ORS19_96
Daten für jede Farbe:
 lab^*ich^* und lab^*ica^*
Bunttonstexte:
 $u^*_e = r75g$ $u^*_d = z72l$
Kontrastreduzierungsfaktor:
 $c_R = 1.0$
Dreiecks-Helligkeit I^*

ORS19_96a; adaptierte CIELAB-Daten
Daten für Maximalfarbe (Ma):
 $L^* a^* b^*$
LAB¹LAB²Ma: 62 -52 37
LAB¹LCH¹Ma: 62 64 144
LAB¹rb¹Ma: 0.25 1.0 0.0
Dreiecks-Helligkeit I^*
%Umfang $u^*_e = 89$
%Regularität $R^*_{reg} = 72$
 $R^*_{reg} = 57$

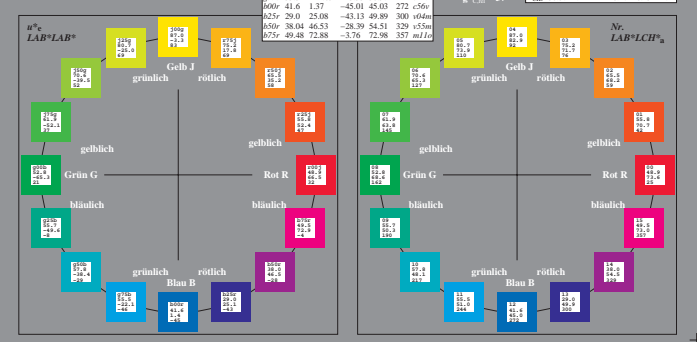
ORS19_96a; adaptierte CIELAB-Daten
Daten für Maximalfarbe (Ma):
 $L^* a^* b^*$
LAB¹LAB²Ma: 62 -52 37
LAB¹LCH¹Ma: 62 64 144
LAB¹rb¹Ma: 0.25 1.0 0.0
Dreiecks-Helligkeit I^*
%Umfang $u^*_e = 89$
%Regularität $R^*_{reg} = 72$
 $R^*_{reg} = 57$



Ein und Ausgabe: Farbmetrisches Drucker-Reflexiv-System ORS19_96a
 Daten für jede Farbe: $h^* = lab^*h^*$ und lab^*c^*
 u^a und Nummer Nr. = 00 ... 15
 Elementar-Buntpunkte
 u^b = 16 Buntpunkte #00; r25j; ... b75r
 Kontrastreduzierungsfaktor:
 c_R = 1.0
 Dreiecks-Helligkeit I^{*}

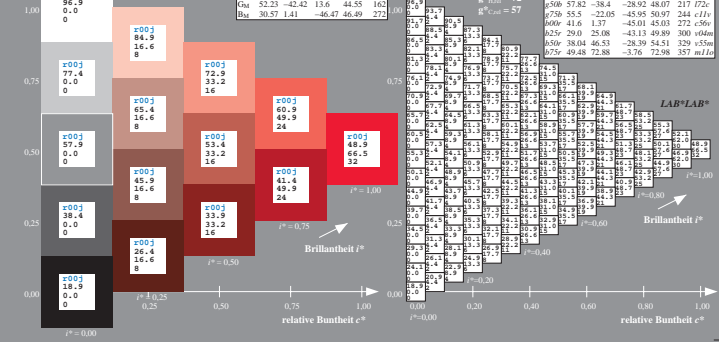
ORS19_96a; adaptierte CIELAB-Daten
 u^a = 16 Buntpunkte #00; r25j; ... b75r
 %Umfang u^a = 89
 %Regularität R^{*} = 72
 R^{*} c_{min} = 57

ORS19_96; CIELAB-Daten
 u^a = 16 Buntpunkte #00; r25j; ... b75r
 %Umfang u^a = 89
 %Regularität R^{*} = 72
 R^{*} c_{min} = 57



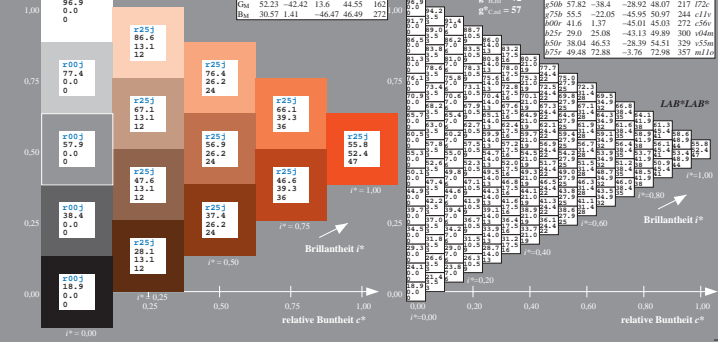
Ein und Ausgabe: Farbmetrisches Drucker-Reflexiv-System ORS19_96, L* = 19_96 für relative CIELAB-Bunton $h^* = lab^*h^* = h_{ab}/360 = 0.071$ u^a = r00g
 Daten für jede Farbe: lab^*c^* und lab^*v^*
 u^a = r00g u^b = m80a
 Kontrastreduzierungsfaktor:
 c_R = 1.0
 Dreiecks-Helligkeit I^{*}

ORS19_96; CIELAB-Daten
 u^a = 16 Buntpunkte #00; r25j; ... b75r
 %Umfang u^a = 89
 %Regularität R^{*} = 72
 R^{*} c_{min} = 57



Ein und Ausgabe: Farbmetrisches Drucker-Reflexiv-System ORS19_96, L* = 19_96 für relative CIELAB-Bunton $h^* = lab^*h^* = h_{ab}/360 = 0.117$ u^a = r25j
 Daten für jede Farbe: lab^*c^* und lab^*v^*
 u^a = r25j u^b = a17y
 Kontrastreduzierungsfaktor:
 c_R = 1.0
 Dreiecks-Helligkeit I^{*}

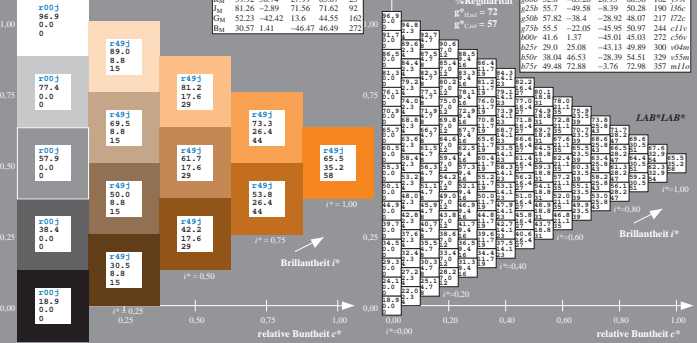
ORS19_96; CIELAB-Daten
 u^a = 16 Buntpunkte #00; r25j; ... b75r
 %Umfang u^a = 89
 %Regularität R^{*} = 72
 R^{*} c_{min} = 57



Ein und Ausgabe: Farbmetrisches Drucker-Reflexiv-System ORS19_96, L* = 19_96 für relative CIELAB-Bunton $h^* = lab^*h^* = h_{ab}/360 = 0.164$ u^a = r50g
 Daten für jede Farbe: lab^*c^* und lab^*v^*
 u^a = r50g u^b = a22y
 Kontrastreduzierungsfaktor:
 c_R = 1.0
 Dreiecks-Helligkeit I^{*}

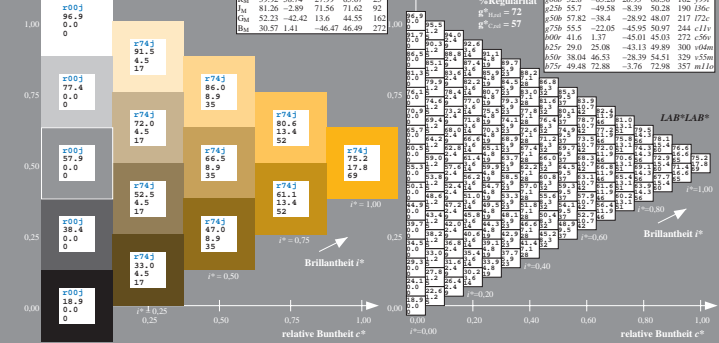
ORS19_96; adaptierte CIELAB-Daten
 u^a = 16 Buntpunkte #00; r25j; ... b75r
 %Umfang u^a = 89
 %Regularität R^{*} = 72
 R^{*} c_{min} = 57

ORS19_96; CIELAB-Daten
 u^a = 16 Buntpunkte #00; r25j; ... b75r
 %Umfang u^a = 89
 %Regularität R^{*} = 72
 R^{*} c_{min} = 57



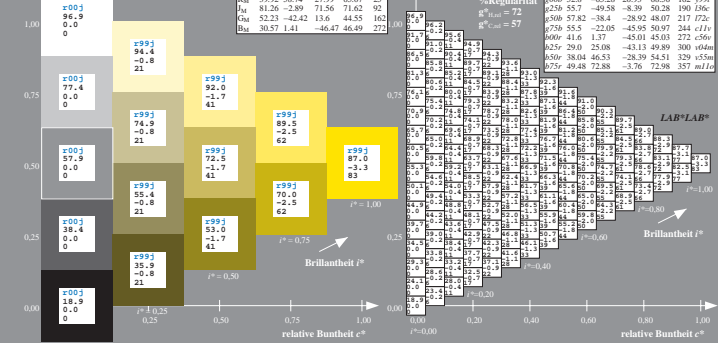
Ein und Ausgabe: Farbmetrisches Drucker-Reflexiv-System ORS19_96, L* = 19_96 für relative CIELAB-Bunton $h^* = lab^*h^* = h_{ab}/360 = 0.21$ u^a = r75j
 Daten für jede Farbe: lab^*c^* und lab^*v^*
 u^a = r75j u^b = a60a
 Kontrastreduzierungsfaktor:
 c_R = 1.0
 Dreiecks-Helligkeit I^{*}

ORS19_96; CIELAB-Daten
 u^a = 16 Buntpunkte #00; r25j; ... b75r
 %Umfang u^a = 89
 %Regularität R^{*} = 72
 R^{*} c_{min} = 57



Ein und Ausgabe: Farbmetrisches Drucker-Reflexiv-System ORS19_96, L* = 19_96 für relative CIELAB-Bunton $h^* = lab^*h^* = h_{ab}/360 = 0.256$ u^a = r00g
 Daten für jede Farbe: lab^*c^* und lab^*v^*
 u^a = r00g u^b = a22y
 Kontrastreduzierungsfaktor:
 c_R = 1.0
 Dreiecks-Helligkeit I^{*}

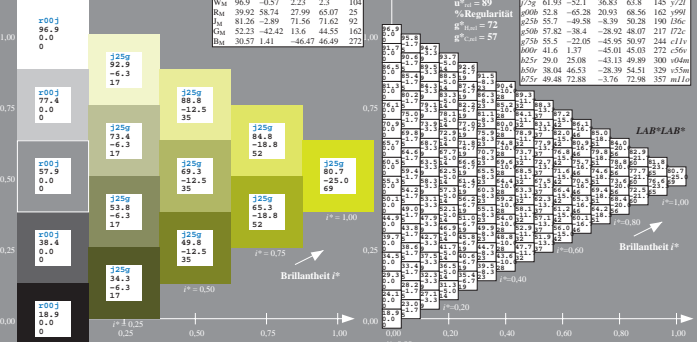
ORS19_96; CIELAB-Daten
 u^a = 16 Buntpunkte #00; r25j; ... b75r
 %Umfang u^a = 89
 %Regularität R^{*} = 72
 R^{*} c_{min} = 57



Ein und Ausgabe: Farbmetrisches Drucker-Reflexiv-System ORS19_96, L* = 19_96 für relative CIELAB-Bunton $h^* = lab^*h^* = h_{ab}/360 = 0.305$ u^a = r25g
 Daten für jede Farbe: lab^*c^* und lab^*v^*
 u^a = r25g u^b = a30l
 Kontrastreduzierungsfaktor:
 c_R = 1.0
 Dreiecks-Helligkeit I^{*}

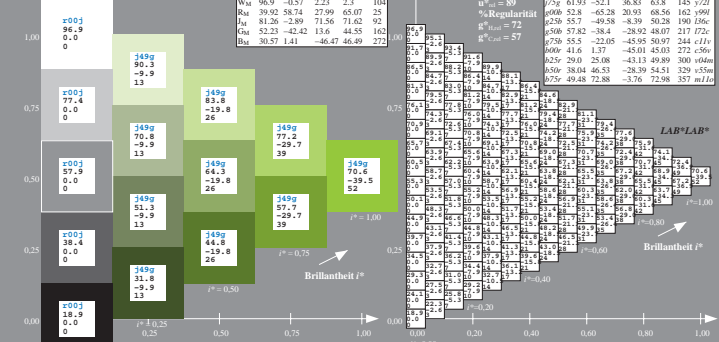
ORS19_96; CIELAB-Daten
 u^a = 16 Buntpunkte #00; r25j; ... b75r
 %Umfang u^a = 89
 %Regularität R^{*} = 72
 R^{*} c_{min} = 57

ORS19_96; adaptierte CIELAB-Daten
 u^a = 16 Buntpunkte #00; r25j; ... b75r
 %Umfang u^a = 89
 %Regularität R^{*} = 72
 R^{*} c_{min} = 57



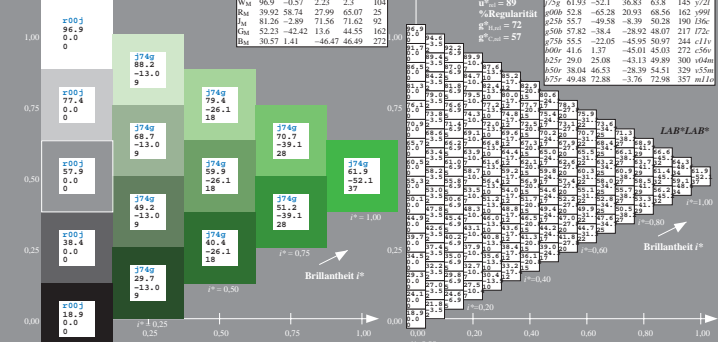
Ein und Ausgabe: Farbmetrisches Drucker-Reflexiv-System ORS19_96, L* = 19_96 für relative CIELAB-Bunton $h^* = lab^*h^* = h_{ab}/360 = 0.354$ u^a = r50g
 Daten für jede Farbe: lab^*c^* und lab^*v^*
 u^a = r50g u^b = a60a
 Kontrastreduzierungsfaktor:
 c_R = 1.0
 Dreiecks-Helligkeit I^{*}

ORS19_96; CIELAB-Daten
 u^a = 16 Buntpunkte #00; r25j; ... b75r
 %Umfang u^a = 89
 %Regularität R^{*} = 72
 R^{*} c_{min} = 57



Ein und Ausgabe: Farbmetrisches Drucker-Reflexiv-System ORS19_96, L* = 19_96 für relative CIELAB-Bunton $h^* = lab^*h^* = h_{ab}/360 = 0.402$ u^a = r75g
 Daten für jede Farbe: lab^*c^* und lab^*v^*
 u^a = r75g u^b = a77l
 Kontrastreduzierungsfaktor:
 c_R = 1.0
 Dreiecks-Helligkeit I^{*}

ORS19_96; CIELAB-Daten
 u^a = 16 Buntpunkte #00; r25j; ... b75r
 %Umfang u^a = 89
 %Regularität R^{*} = 72
 R^{*} c_{min} = 57



Ein und Ausgabe: Farbmetrisches Drucker-Reflektiv-System ORS19_96a
 Daten für jede Farbe: u^* und v^* und w^* = 00...15
 Elementar-Bunttonstoffe:
 $u^*_E = 16$ Bunttonstoffe $001, r25j, \dots, b75r$
 Kontrastreduzierungs-faktor:
 $c_R = 1.0$

ORS19_96a; adaptierte CIELAB-Daten

Y ₅₀	L*	a*	b*	C _{ab}	h _{ab}	m _{ab}
25	58.88	52.39	47.48	70.7	42	0.75
50	65.43	32.22	58.37	68.17	59	0.62
75	75.19	17.82	69.41	71.66	76	0.67
100	87.03	-3.35	82.83	82.9	92	0.62
125	90.72	-25.01	69.5	73.86	110	0.20
150	70.64	-39.54	51.97	65.3	127	0.46
175	61.93	-52.1	36.83	63.8	145	0.27
200	52.4	-65.28	20.93	65.86	162	0.99
225	55.7	-49.58	-8.39	50.28	190	1.06
250	57.82	-38.4	-28.62	48.07	217	0.72
275	58.5	-22.05	-45.95	50.97	244	0.11
300	41.6	1.37	-45.01	45.03	272	0.56
325	29.0	25.08	-43.19	49.89	300	0.68
350	38.04	46.53	-28.39	54.51	329	0.58
375	49.48	72.88	-3.76	72.98	357	0.16



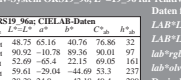
ORS19_96a; CIELAB-Daten

Y ₅₀	L*	a*	b*	C _{ab}	h _{ab}	m _{ab}
Ya	90.92	-10.78	89.36	90.01	97	0.97
Yb	65.43	-65.4	22.15	69.05	161	0.62
Yc	52.69	-65.4	22.15	69.05	161	0.62
Ym	52.69	-65.4	22.15	69.05	161	0.62
Ys	52.69	-65.4	22.15	69.05	161	0.62
Yv	52.69	-65.4	22.15	69.05	161	0.62
Yw	52.69	-65.4	22.15	69.05	161	0.62
Yx	52.69	-65.4	22.15	69.05	161	0.62
Yy	52.69	-65.4	22.15	69.05	161	0.62
Yz	52.69	-65.4	22.15	69.05	161	0.62



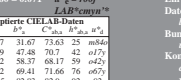
ORS19_96a; CIELAB-Daten

Y ₅₀	L*	a*	b*	C _{ab}	h _{ab}	m _{ab}
Ya	90.92	-10.78	89.36	90.01	97	0.97
Yb	65.43	-65.4	22.15	69.05	161	0.62
Yc	52.69	-65.4	22.15	69.05	161	0.62
Ym	52.69	-65.4	22.15	69.05	161	0.62
Ys	52.69	-65.4	22.15	69.05	161	0.62
Yv	52.69	-65.4	22.15	69.05	161	0.62
Yw	52.69	-65.4	22.15	69.05	161	0.62
Yx	52.69	-65.4	22.15	69.05	161	0.62
Yy	52.69	-65.4	22.15	69.05	161	0.62
Yz	52.69	-65.4	22.15	69.05	161	0.62



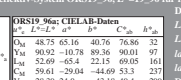
ORS19_96a; CIELAB-Daten

Y ₅₀	L*	a*	b*	C _{ab}	h _{ab}	m _{ab}
Ya	90.92	-10.78	89.36	90.01	97	0.97
Yb	65.43	-65.4	22.15	69.05	161	0.62
Yc	52.69	-65.4	22.15	69.05	161	0.62
Ym	52.69	-65.4	22.15	69.05	161	0.62
Ys	52.69	-65.4	22.15	69.05	161	0.62
Yv	52.69	-65.4	22.15	69.05	161	0.62
Yw	52.69	-65.4	22.15	69.05	161	0.62
Yx	52.69	-65.4	22.15	69.05	161	0.62
Yy	52.69	-65.4	22.15	69.05	161	0.62
Yz	52.69	-65.4	22.15	69.05	161	0.62



ORS19_96a; CIELAB-Daten

Y ₅₀	L*	a*	b*	C _{ab}	h _{ab}	m _{ab}
Ya	90.92	-10.78	89.36	90.01	97	0.97
Yb	65.43	-65.4	22.15	69.05	161	0.62
Yc	52.69	-65.4	22.15	69.05	161	0.62
Ym	52.69	-65.4	22.15	69.05	161	0.62
Ys	52.69	-65.4	22.15	69.05	161	0.62
Yv	52.69	-65.4	22.15	69.05	161	0.62
Yw	52.69	-65.4	22.15	69.05	161	0.62
Yx	52.69	-65.4	22.15	69.05	161	0.62
Yy	52.69	-65.4	22.15	69.05	161	0.62
Yz	52.69	-65.4	22.15	69.05	161	0.62



ORS19_96a; CIELAB-Daten

Y ₅₀	L*	a*	b*	C _{ab}	h _{ab}	m _{ab}
Ya	90.92	-10.78	89.36	90.01	97	0.97
Yb	65.43	-65.4	22.15	69.05	161	0.62
Yc	52.69	-65.4	22.15	69.05	161	0.62
Ym	52.69	-65.4	22.15	69.05	161	0.62
Ys	52.69	-65.4	22.15	69.05	161	0.62
Yv	52.69	-65.4	22.15	69.05	161	0.62
Yw	52.69	-65.4	22.15	69.05	161	0.62
Yx	52.69	-65.4	22.15	69.05	161	0.62
Yy	52.69	-65.4	22.15	69.05	161	0.62
Yz	52.69	-65.4	22.15	69.05	161	0.62

